

transformácie polí (ÚBA)
(tvorba odvodených polí)

ciele:

- zvýraznenie (separácia) regionálnej a/alebo reziduálnej zložky
(regionálna zložka – väčšinou hlbšie zdroje)
(reziduálna zložka – väčšinou plytšie zdroje)
- zvýraznenie prejavov zdrojov v pôvodnom poli

technická realizácia:

- dolno- a hornopriepustné filtre
(low- and high-pass filters)
v priestorovej alebo spektrálnej oblasti

transformácie polí (ÚBA) v gravimetrii

- **separácia lokálnych (reziduálnych) anomálií**
- **analytické pokračovanie nahor/nadol**
- **výpočet vyšších derivácií
(vertikálnych, horizontálnych)**
- **iné špeciálne transformácie (zdanlivá hustota,
konvexnosť/konkávnosť, „hyperbolicnosť“, atď.)**

transformácie polí (ÚBA) v gravimetrii

transformácie polí

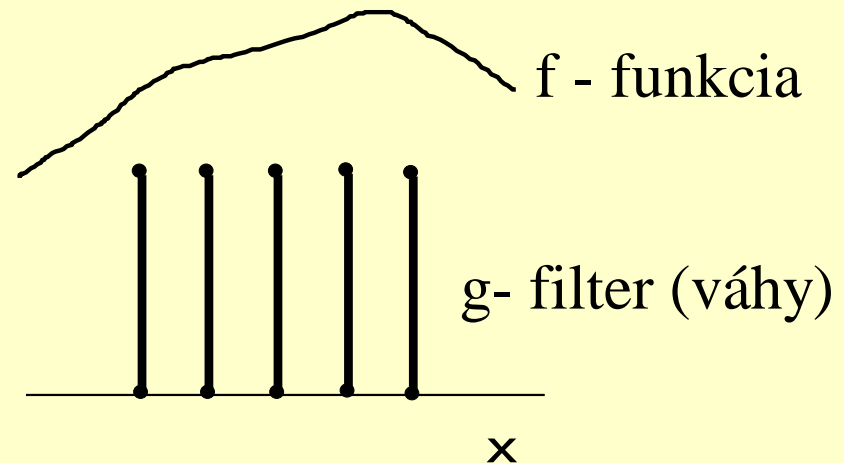
numerická realizácia – v priestorovej oblasti:

tzv. klzajúce konvolučné filtre (okná):

konvolúcia:

$$f * g = \int_{-\infty}^{+\infty} f(\tau)g(x-\tau)d\tau = \int_{-\infty}^{+\infty} f(x-\tau)g(\tau)d\tau = \sum_{i=-m/2}^{+m/2} f_{j-i} g_i$$

Prakticky to potom znamená, že hodnoty poľa násobíme určitými koeficientami a výsledok uložíme pre centrálny bod okna.



transformácie polí (ÚBA) v gravimetrii

transformácie polí

numerická realizácia – v spektrálnej (Fourierovej oblasti)

využíva sa pri tom tzv. konvolučná teoréma

konvolúcia:

$$f * g = \int_{-\infty}^{+\infty} f(\tau)g(x - \tau)d\tau = \int_{-\infty}^{+\infty} f(x - \tau)g(\tau)d\tau$$

konvolučná teoréma:

$$\mathfrak{T}\{f * g\} = F(k)G(k) , \quad \text{kde}$$

$$F(k) = \mathfrak{T}\{f\} = \int_{-\infty}^{+\infty} f(x)e^{-ikx}dx , \quad G(k) = \mathfrak{T}\{g\} = \int_{-\infty}^{+\infty} g(x)e^{-ikx}dx ,$$

z uvedeného vyplýva, že konvolučné operácie sa dajú veľmi jednoducho realizovať v spektrálnej oblasti – iba násobením spektier

transformácie polí (ÚBA) v gravimetrii

transformácie polí

numerická realizácia – v spektrálnej (Fourierovej oblasti)

využíva sa pri tom tzv. konvolučná teoréma

z uvedeného vyplýva, že konvolučné operácie sa dajú veľmi jednoducho realizovať v spektrálnej oblasti – iba násobením spektier

Praktická realizácia:

1. Najprv prevedieme transformované dáta do spektrálnej (Fourierovskej) oblasti pomocou priamej FT,
2. V spektrálnej oblasti sa vykoná násobenie spektra so spektrálnou charakteristikou transformácie
3. Napokon sa výsledok prevedie naspäť do priestorovej oblasti pomocou inverznej FT.

transformácie polí (ÚBA) v gravimetrii

transformácie polí

numerická realizácia – v spektrálnej (Fourierovej oblasti)

využíva sa pri tom tzv. konvolučná teoréma

spektrum funkcie sa násobí spektrálnou charakteristikou operácie

určenie spektrálnych charakteristík transformácií –

- pomocou využitia vlastností Fourierovej transformácie a jej aplikácii na priestorové ekvivalenty transformácií

príklady:

horizontálna derivácia: $(ik)^n$

vertikálna derivácia: $|k|^n$

analytické pokračovanie: $e^{\pm |k|z}$

(kde k je spektrálna premenná alebo vlnové číslo)

transformácie polí (ÚBA) v gravimetrii

transformácie polí

numerická realizácia – v spektrálnej (Fourierovej oblasti)

Jedna zo základných vlastností FT – spektrum z derivácie:

$$\begin{aligned} F\left\{\frac{\partial g}{\partial x}\right\} &= \int_{-\infty}^{+\infty} \frac{\partial}{\partial x} \left[g(x)e^{-ikx} \right] dx = \int_{-\infty}^{+\infty} (-ik)g(x)e^{-ikx} dx = \\ &= (-ik) \int_{-\infty}^{+\infty} g(x)e^{-ikx} dx = (-ik)F\{g(x)\} \end{aligned}$$

Výsledkom je spektrum pôvodnej funkcie, násobené s členom $(-ik)$.

transformácie polí (ÚBA) v gravimetrii

separácia lokálnych (reziduálnych) anomálií

transformácie polí (ÚBA) v gravimetrii

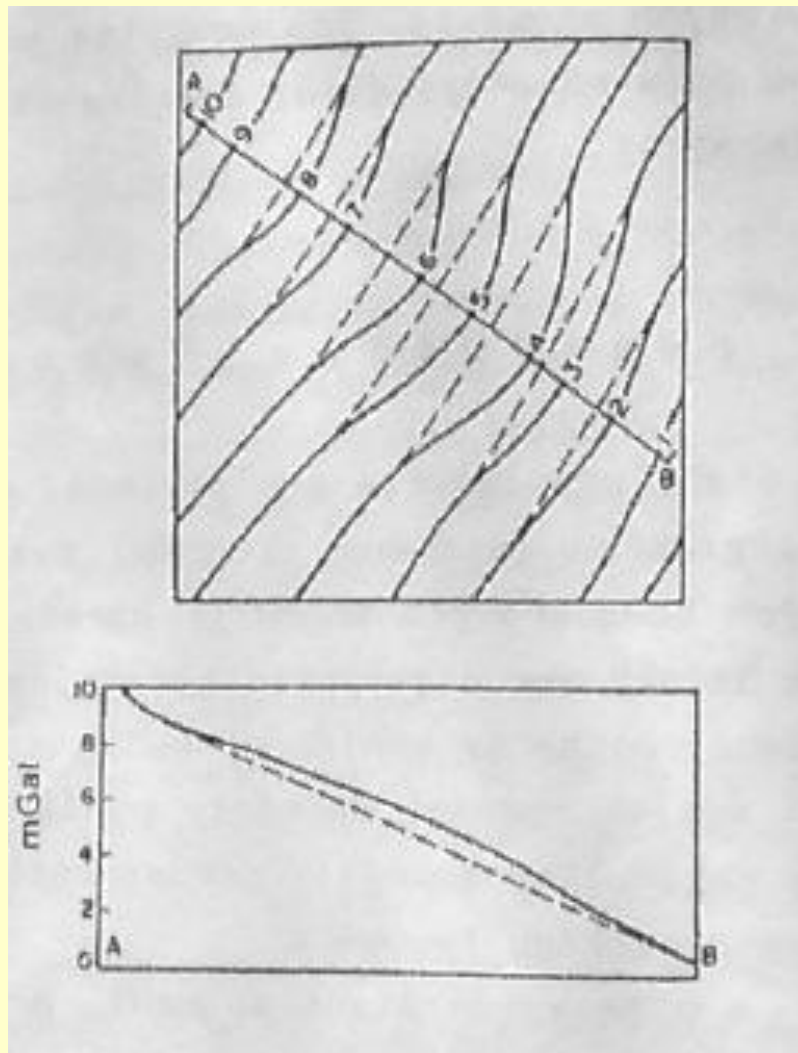
separácia lokálnych (reziduálnych) anomálií

numerická realizácia – v priestorovej (Fourierovej oblasti)

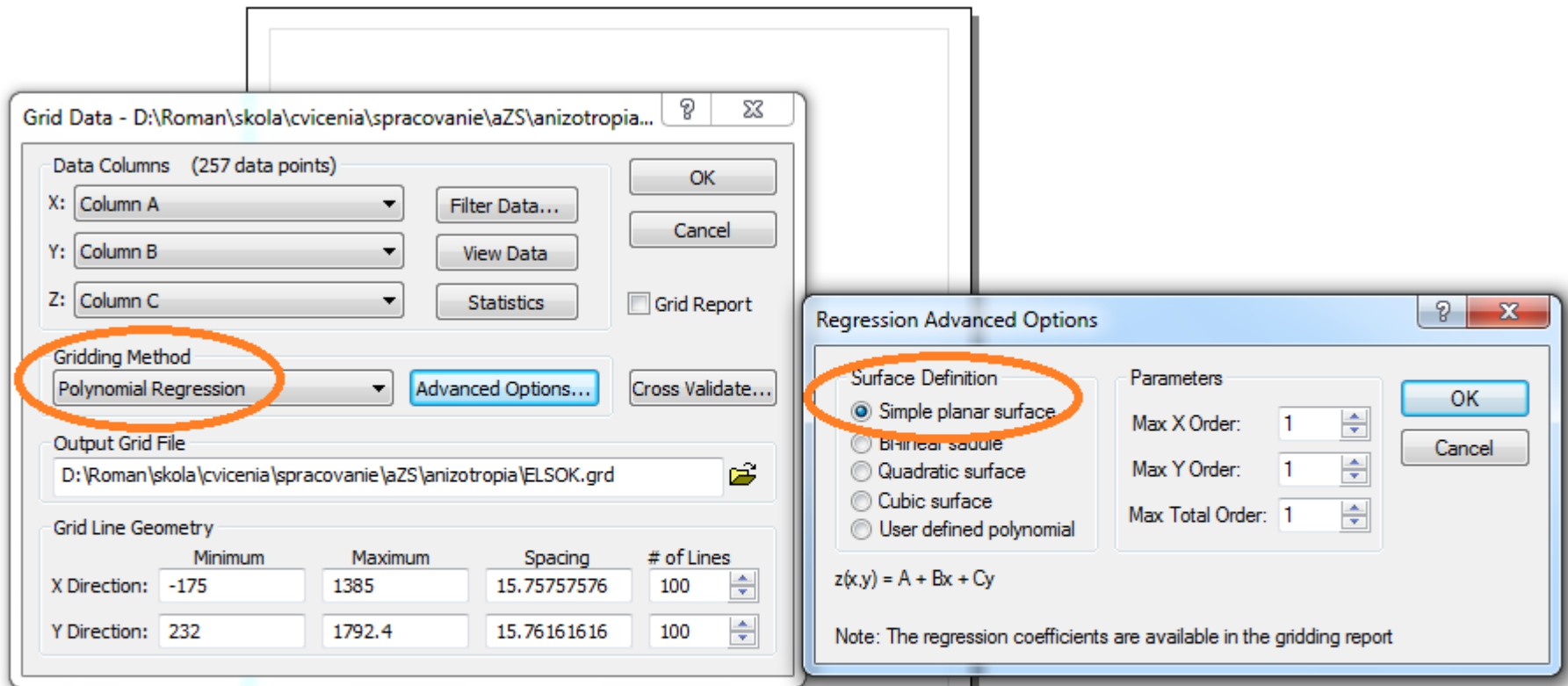
- grafické metódy (v priestorovej oblasti)
- prekladanie funkcií (lineárnej alebo jednoduchého polynómu) (pomocou metódy LSQ – najmenších štvorcov)
- využitie „vystred’ovacích“ vzorcov v priestorovej oblasti (tzv. Griffinov vzorec)
- využitie regionálnej informácie o tvare a hodnotách poľa ÚBA
- využitie tzv. geopotenciálnych modelov (GGM)
- separácia v spektrálnej oblasti zadefinovaním hornopriepustného filtra (Butterworth, Lancsos, Haning, Gaussian, Cosine-rollof, atď.) alebo pomocou analytického pokračovania nahor

transformácie polí (ÚBA) v gravimetrii - separácia anomálií

grafická metóda – starší prístup

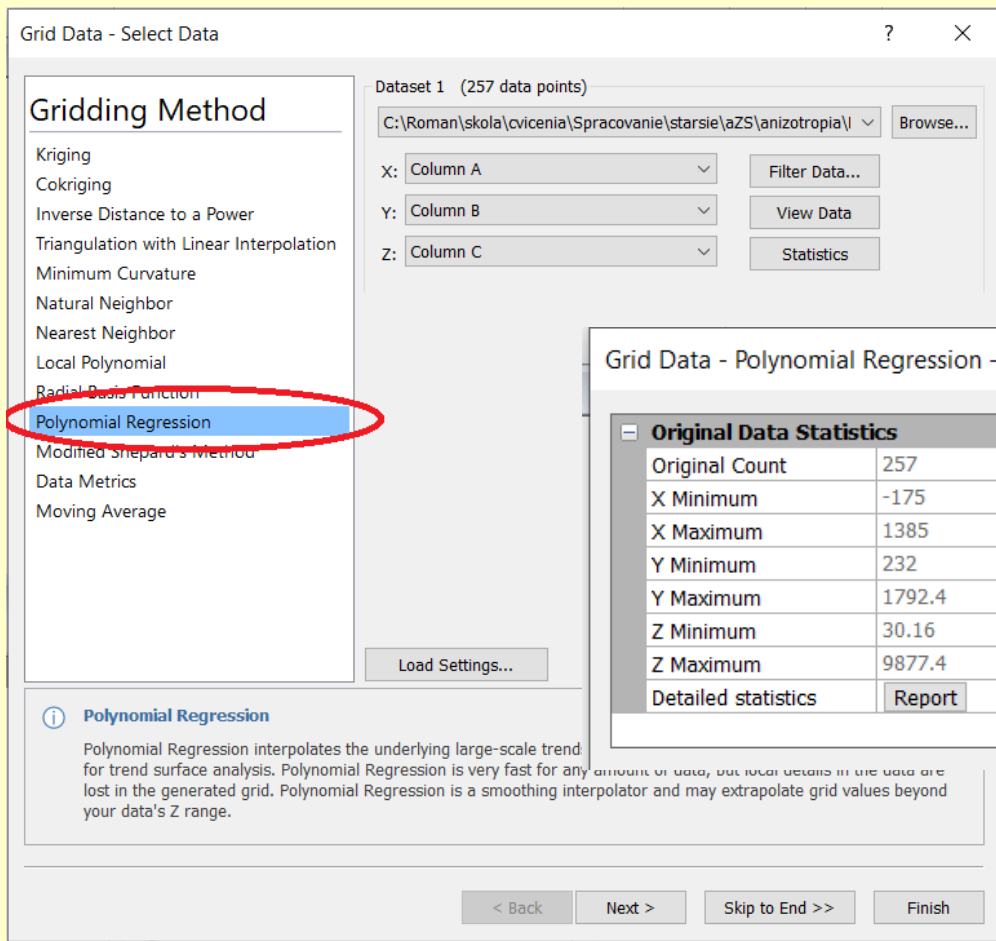


numerická realizácia prekladania polynómov (lineárnej funkcie)
metódou najmenších štvorcov - LSQ (Surfer)

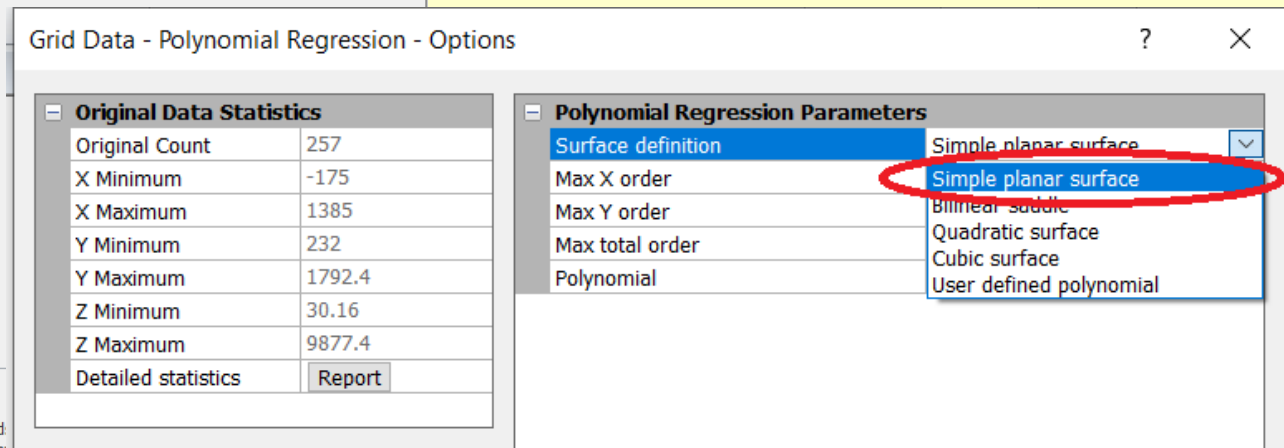


Grid Data -> Gridding Method -> Polynomial Regression ->
-> Simple planar surface

numerická realizácia prekladania polynómov (lineárnej funkcie) metódou najmenších štvorcov - LSQ (Surfer)



novšie verzie
(20 a vyššie)



Grid Data -> Gridding Method -> Polynomial Regression ->
-> Simple planar surface

numerická realizácia prekladania polynómov (lineárnej funkcie) metódou najmenších štvorcov - LSQ (Grapher)

The image shows two overlapping dialog boxes from the Grapher software. The 'Fits' dialog box is in the foreground, and the 'Properties - Line/Scatter Plot 1' dialog box is in the background. Both have red circles highlighting specific elements.

Fits Dialog Box:

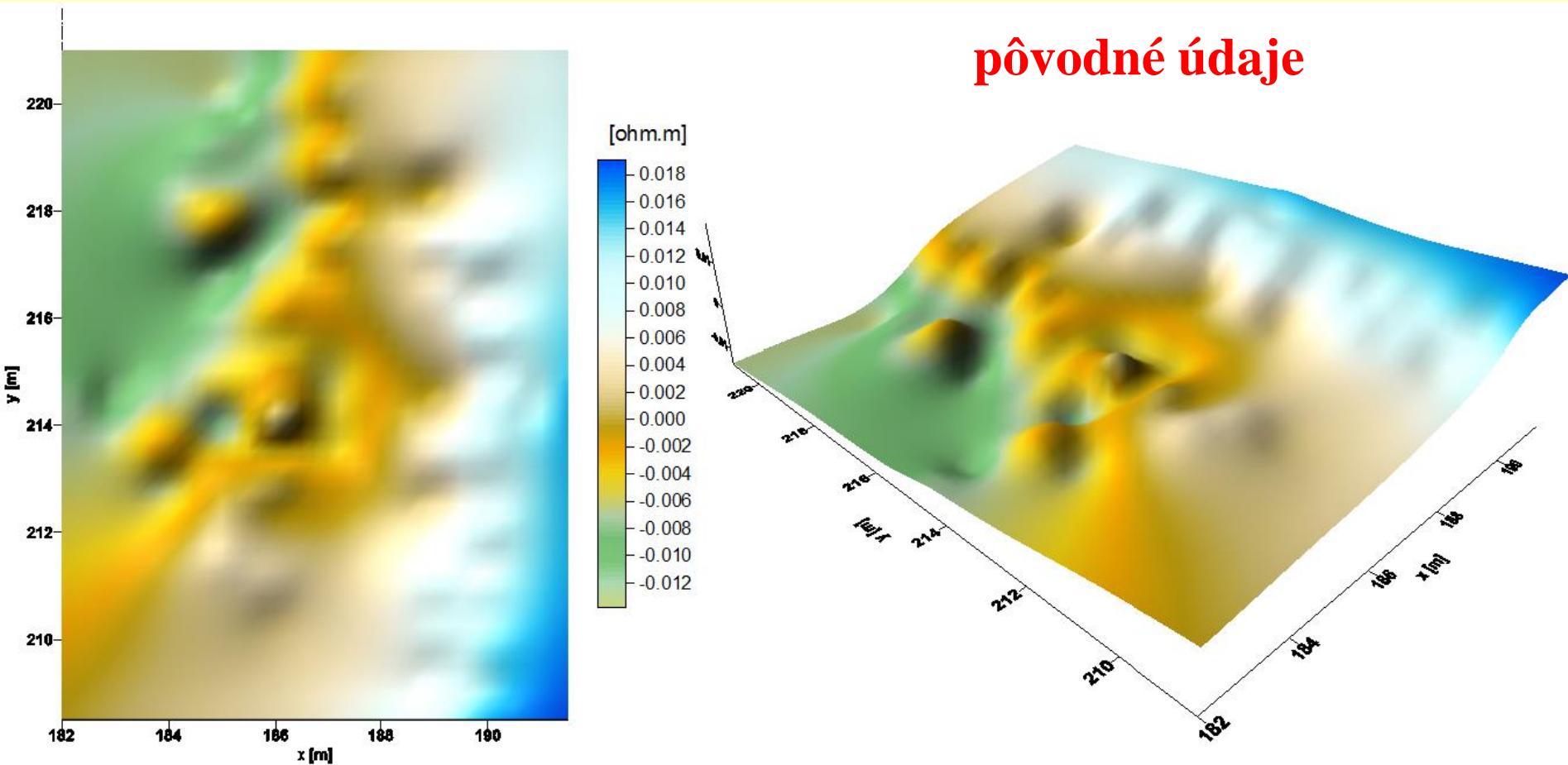
- Available Fits: Linear, $Y = B * X + A$ (highlighted with a red circle)
- Buttons: Add, Define..., Edit..., Copy, Remove
- Display Following Fits: Table with columns Name, Equation, Sample
- Buttons: Delete, Replace, Properties
- Statistics: Selected fit, All fits above, Copy to: Clipboard, Report
- Buttons: OK, Cancel, Apply

Properties - Line/Scatter Plot 1 Dialog Box:

- Labels: Symbol, Line, Fill
- Plot: Clipping, Error Bars
- Plot Properties:
 - Worksheet: drift.dat (D:\Roman\CG-5\se
 - X axis: X Axis 1
 - Y axis: Y Axis 1
 - X column: Column B: time
 - Y column: Column D: SD
- Worksheet ...:
 - First row: 1, Auto
 - Last row: 3210, Auto
 - Step ro...: 1
 - Data points...: 3209 data points
 - Fits: <Click here to add/edit fits> (highlighted with a red circle)
 - New plot: <Click here to add a new pl
- Buttons: Auto Update, Apply, Cancel, ?

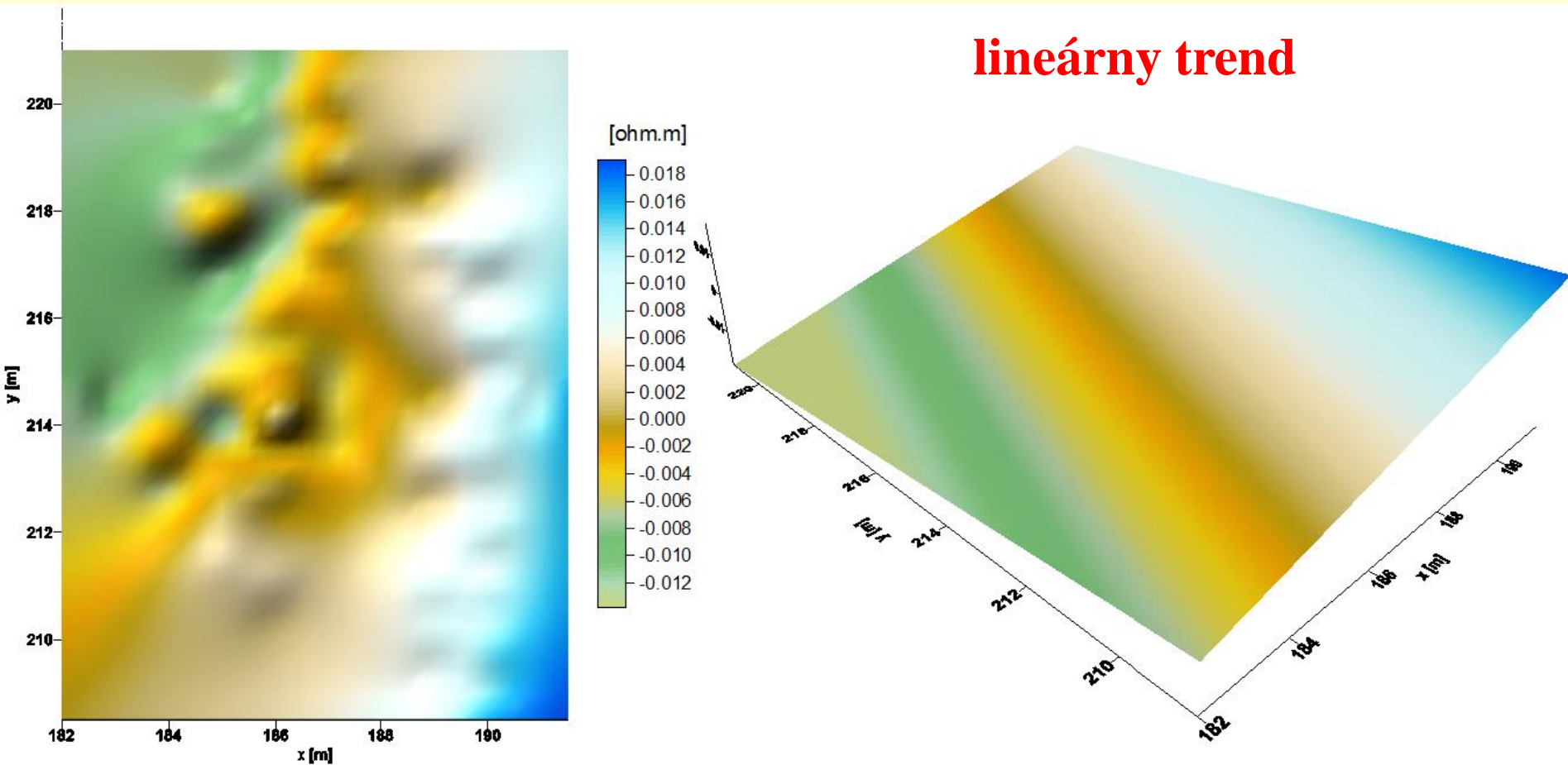
Graph -> Line/Scatter -> Properties -> Fits -> Linear

numerická realizácia prekladania polynómov (lineárnej funkcie)
metódou najmenších štvorcov - LSQ (napr. Surfer, Grapher)



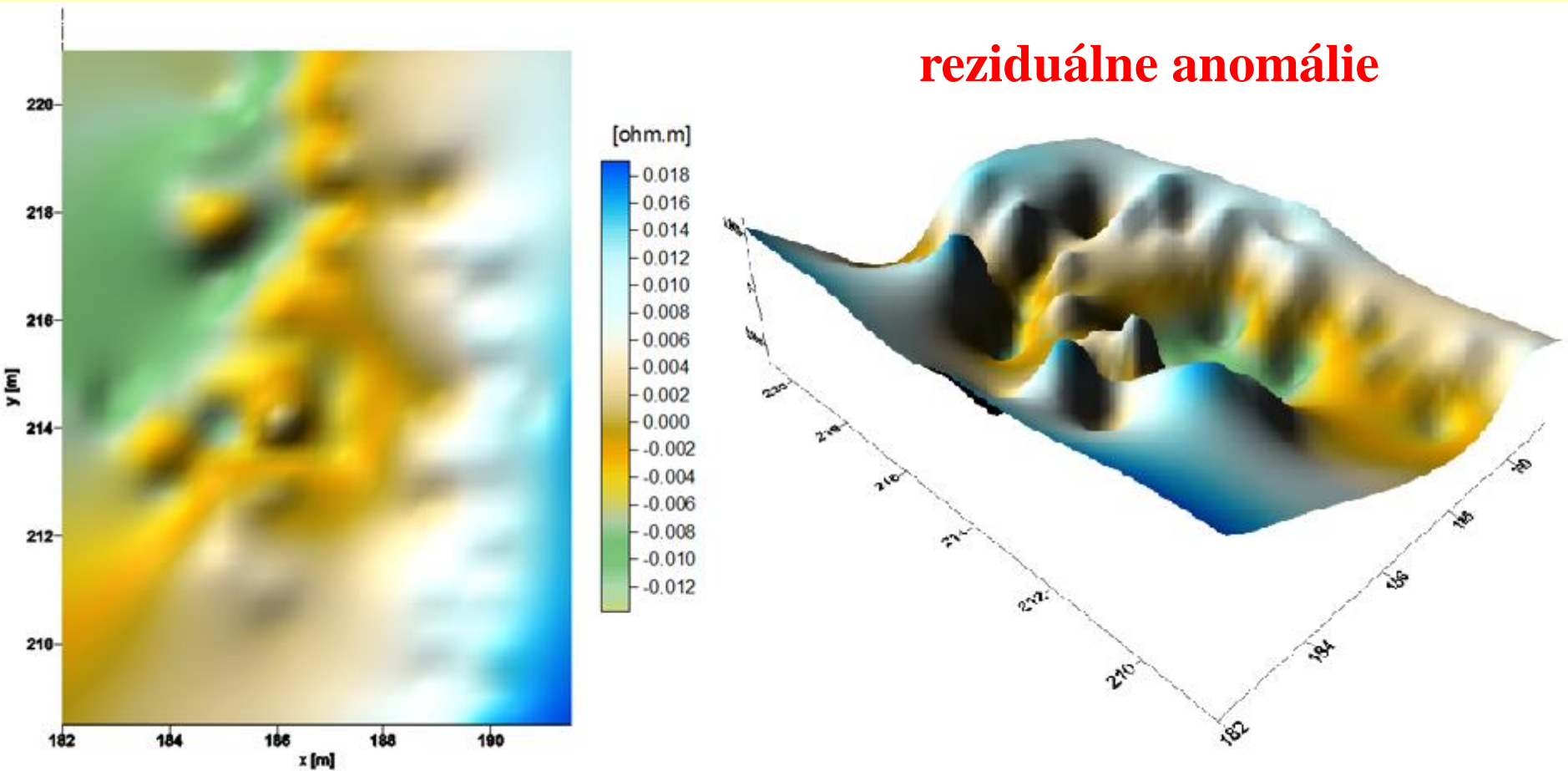
príklad – plošná mapa rozdelenia hodnôt s výrazným trendom

numerická realizácia prekladania polynómov (lineárnej funkcie)
metódou najmenších štvorcov - LSQ (napr. Surfer, Grapher)



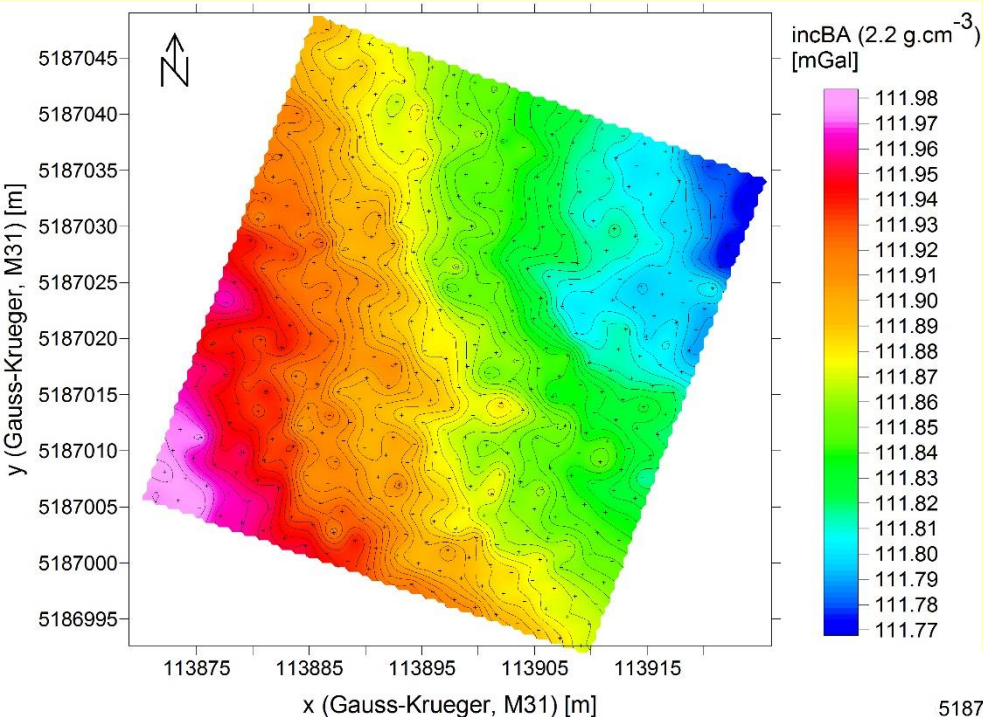
príklad – plošná mapa rozdelenia hodnôt s výrazným trendom

numerická realizácia prekladania polynómov (lineárnej funkcie)
metódou najmenších štvorcov - LSQ (napr. Surfer, Grapher)



príklad – plošná mapa rozdelenia hodnôt s výrazným trendom

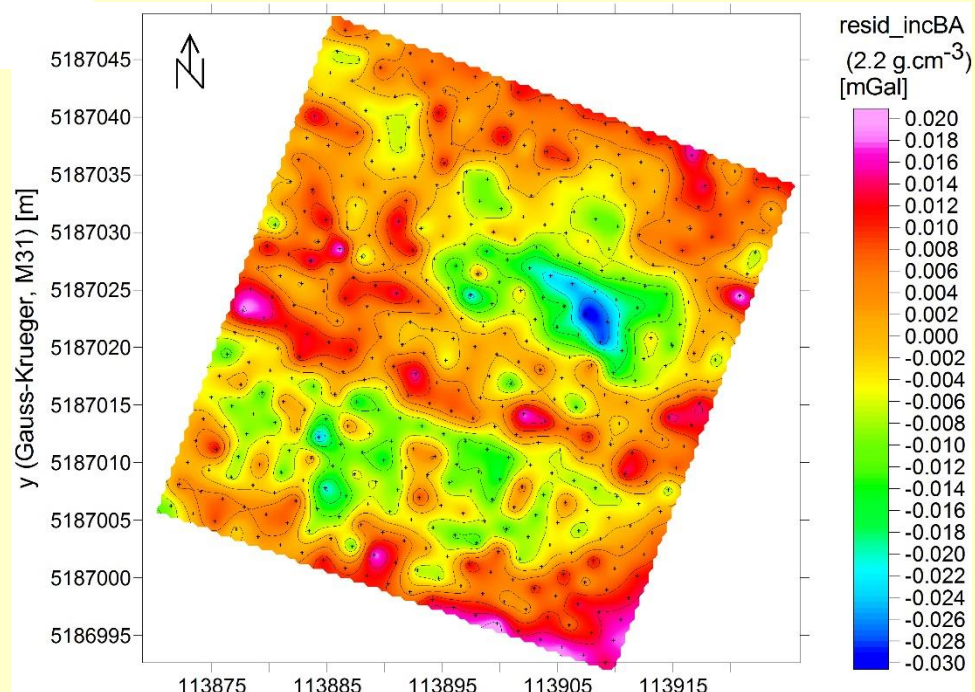
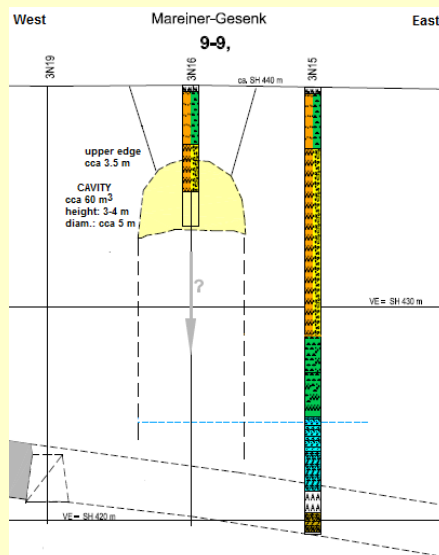
lokalita Wolfsberg (Rakúsko) - mikrogravimetria



mapa ÚBA

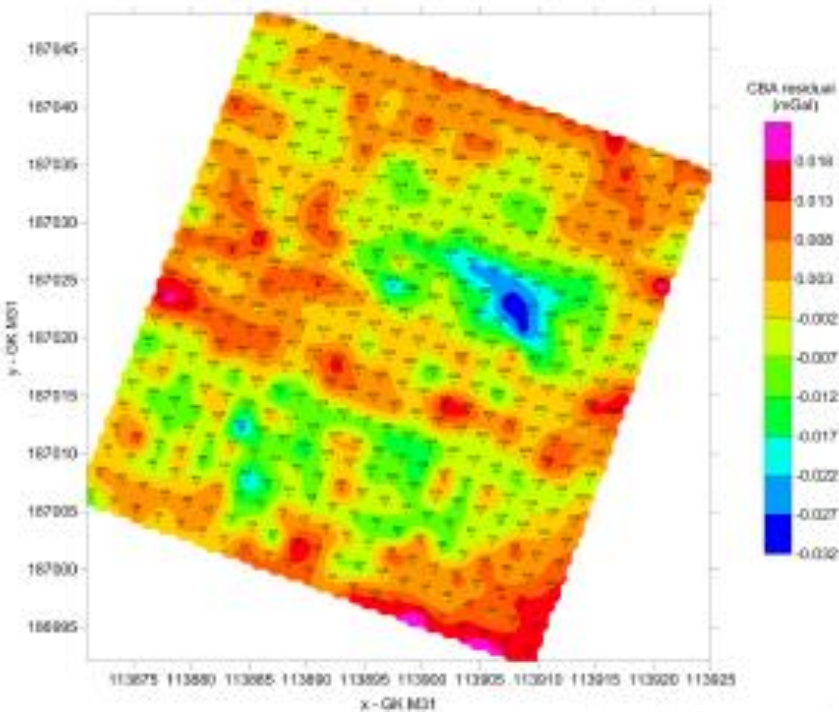
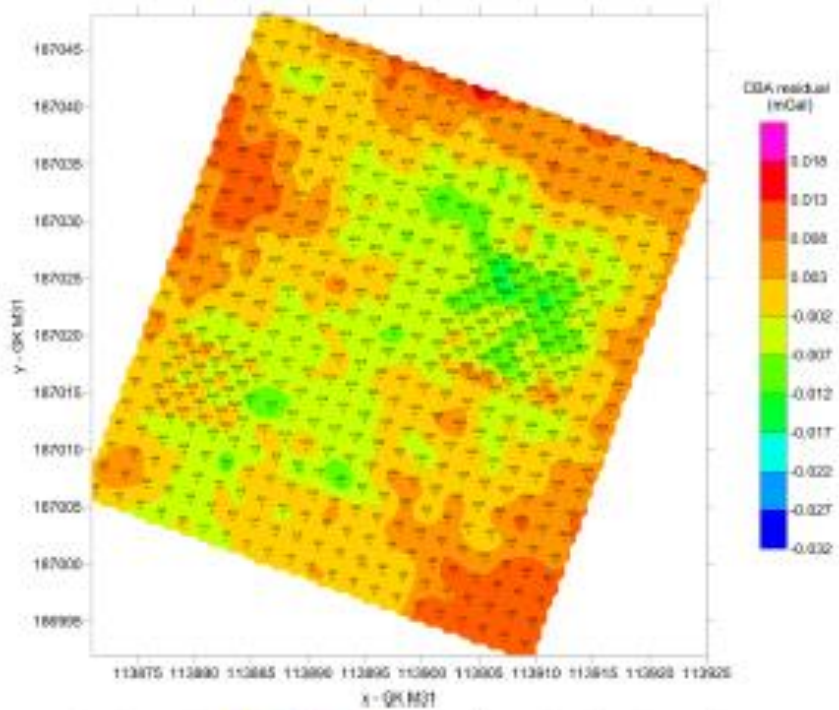
reziduálne anomálie

navrtná dutina



porovnanie rokov
2012 a 2016
(kontrolné merania)

2016

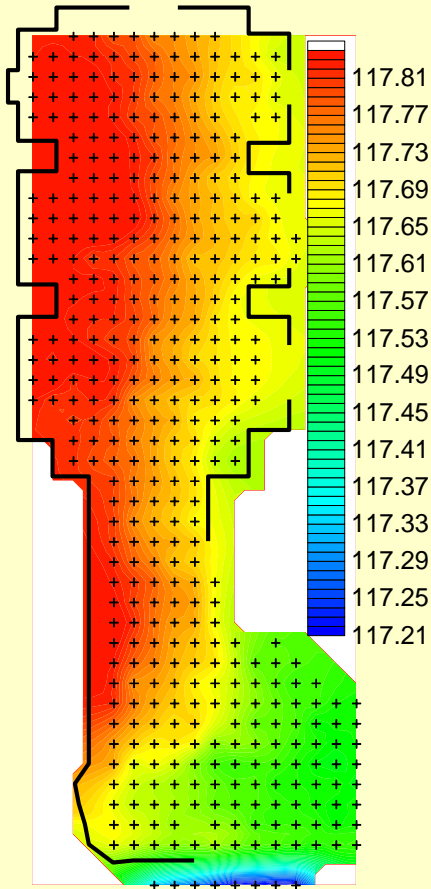


2012

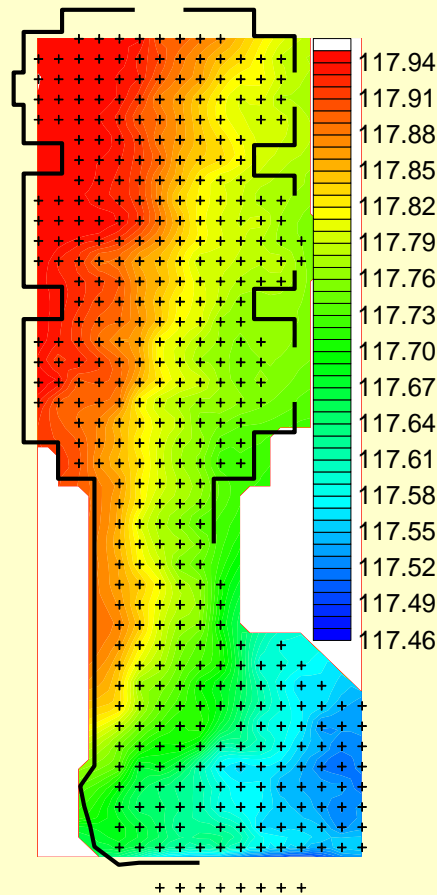


lokality Katarínka - vývoj mapy reziduálnych anomálií

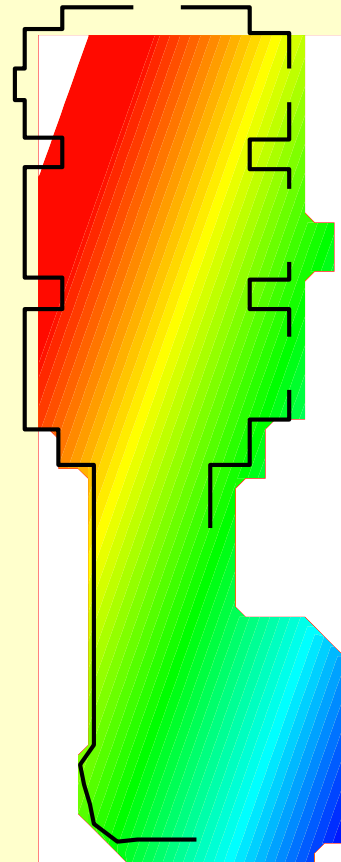
úplné Bougerove
anomálie pre red.
hustotu 2.4 g.cm^{-3}



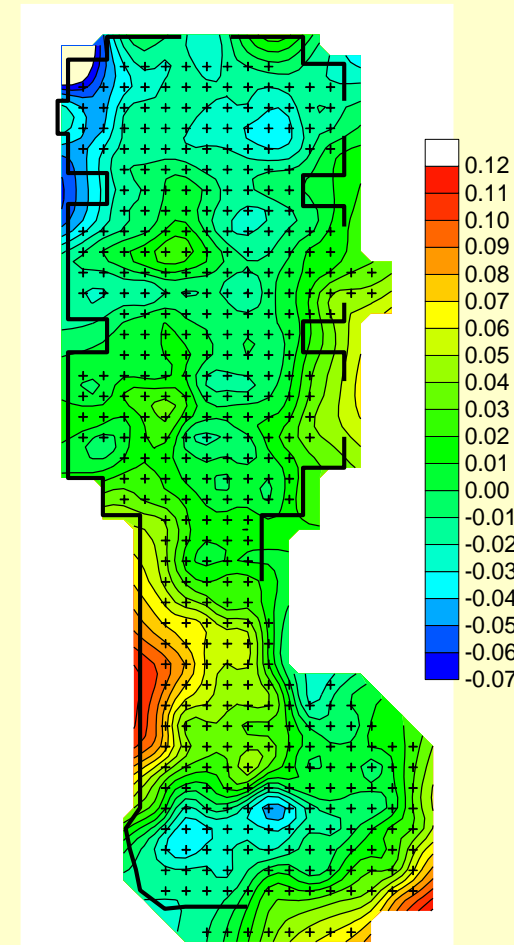
úplné Bougerove
anomálie pre red.
hustotu 2.4 g.cm^{-3}
+ oprava na múry



regionálny trend



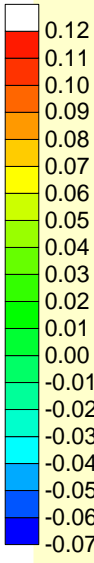
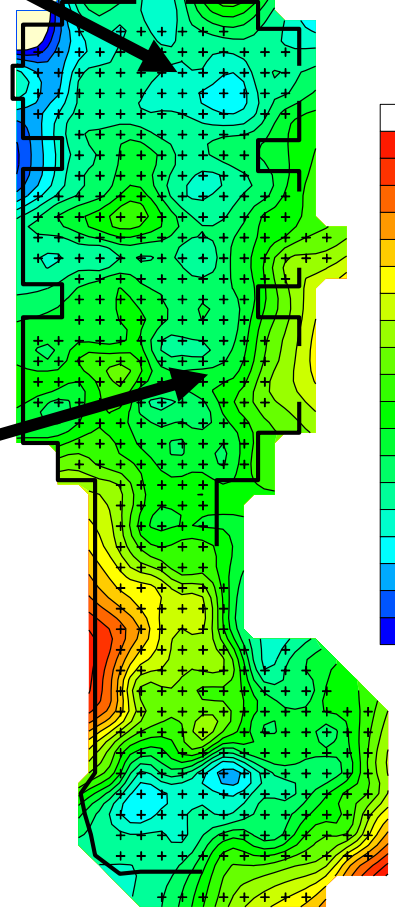
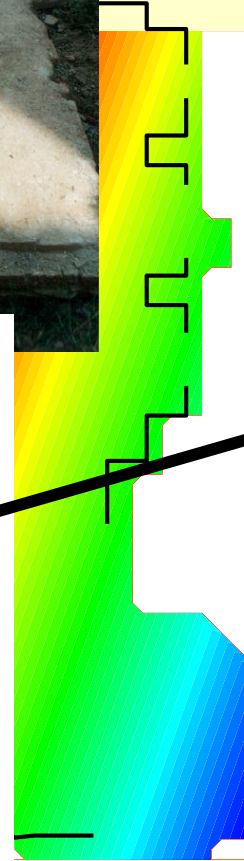
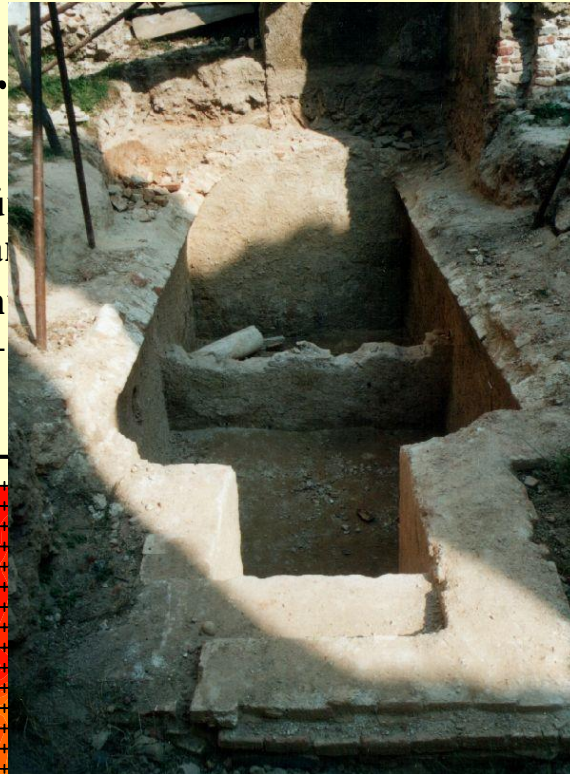
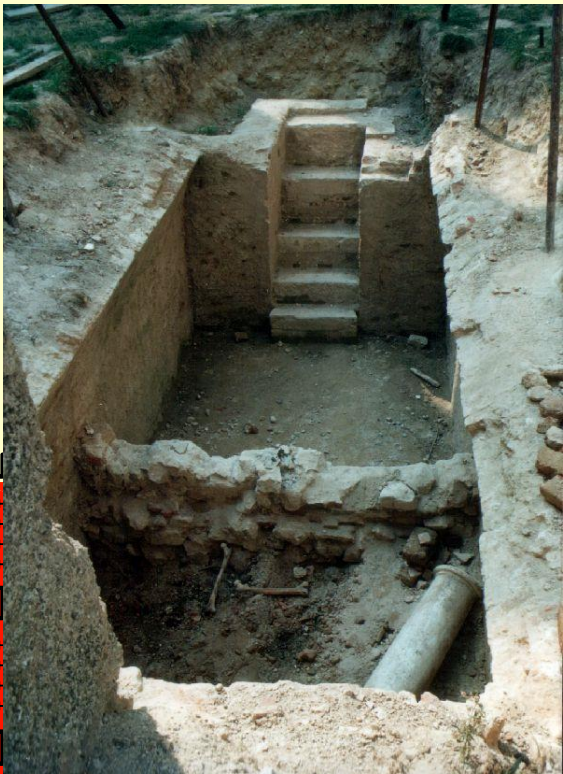
reziduálne anomálie
pre 2.4 g.cm^{-3}



duálnych anomálií

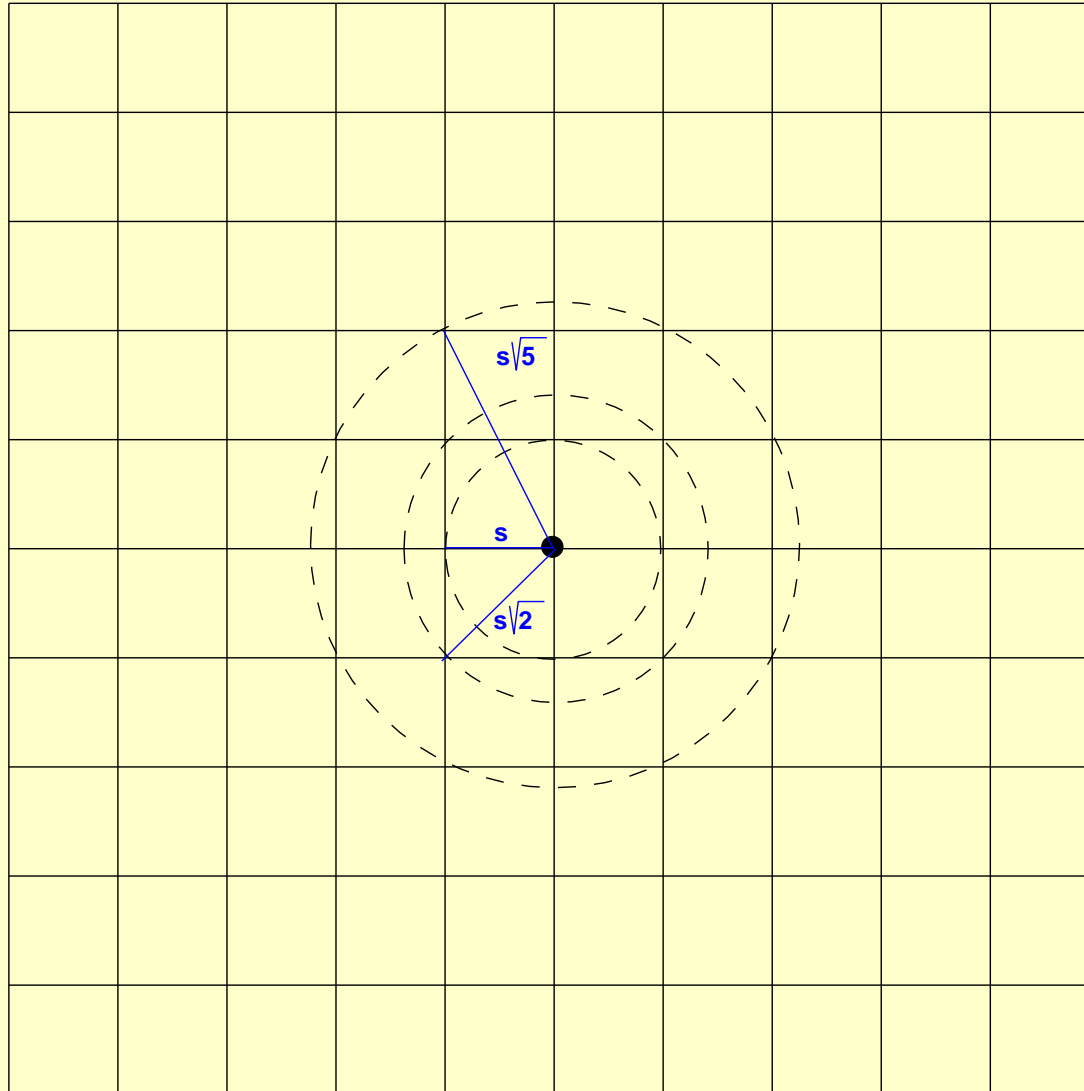
ny trend

reziduálne anomálie
pre 2.4 g.cm^{-3}



transformácie polí (ÚBA) v gravimetrii - separácia anomálií

Griffinov vystred'ovací vzorec



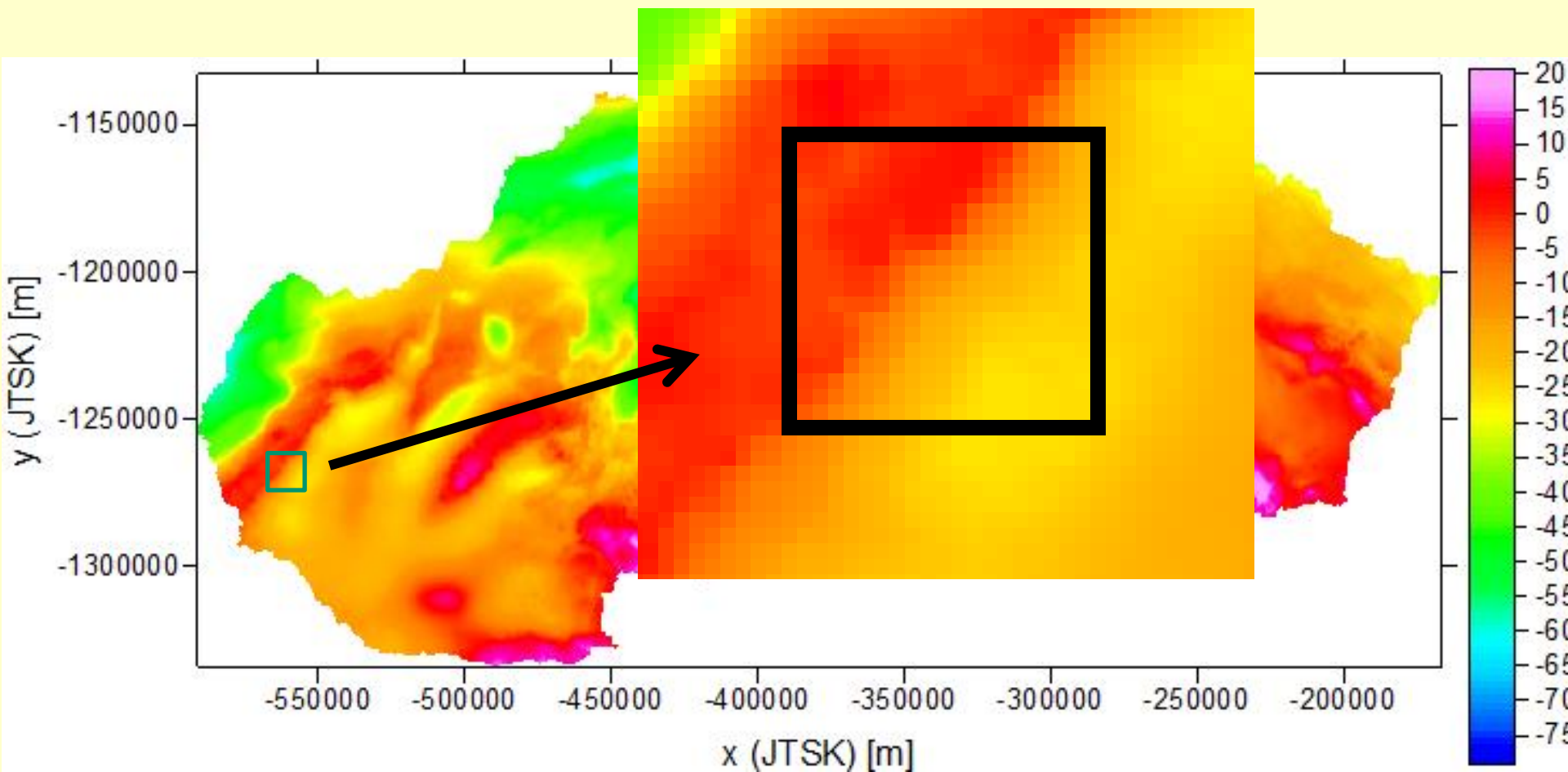
počítajú sa priemery z hodnôt, ležiacich na kružnici s určitým polomerom

(odporúča sa, aby sa rovnal 2 až 3 krát predpokladanej hĺbke anomálnych hmôt, ktoré chceme zvýrazniť)

**(používa sa menej –
– vznik umelých prstencov okolo vyseparovaných anomálií,
– tzv. ringing)**

transformácie polí (ÚBA) v gravimetrii - separácia anomálií

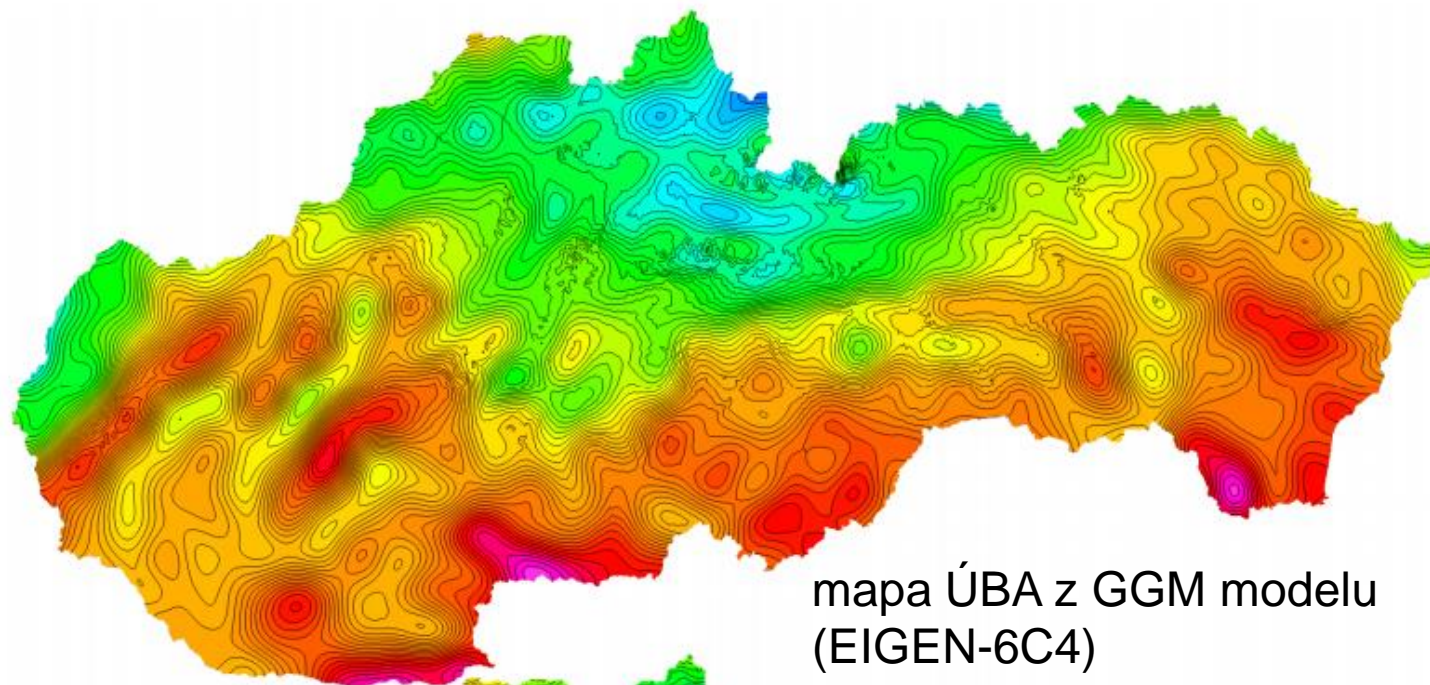
pri prieskumoch s menšou plochou je možné využiť aj regionálne pole ÚBA (z regionálnych pozemných meraní)



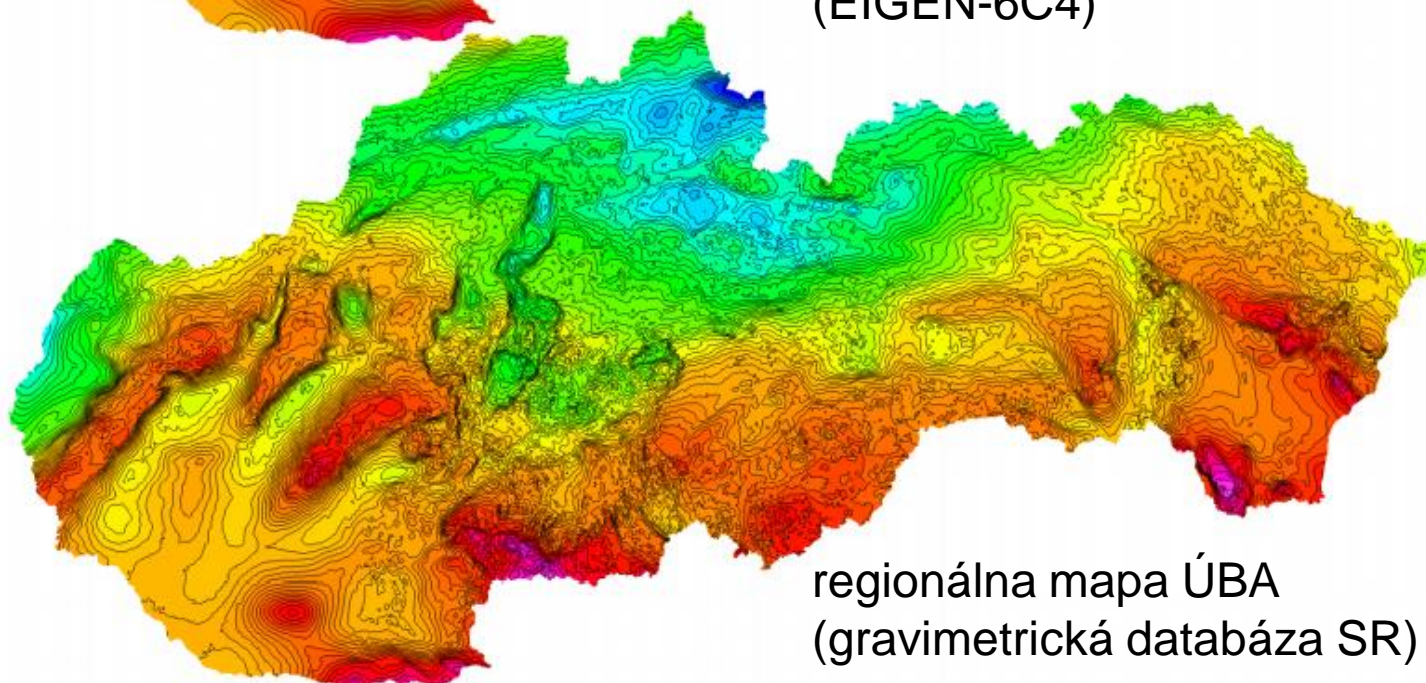
transformácie polí (ÚBA) v gravimetrii - separácia anomálií

pri prieskumoch s menšou plochou je možné využiť aj regionálne pole ÚBA, zrátané z tzv. geopotenciálnych modelov (GGM)

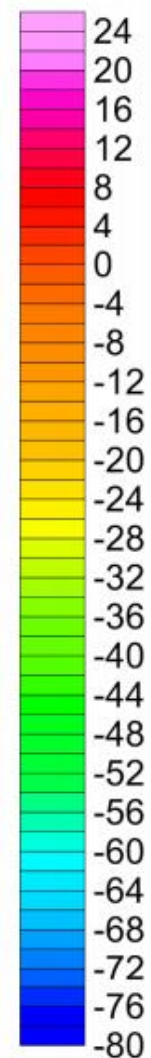
- geopotenciálne modely sú založené na aproximácii tiažového potenciálu (aj jeho vyšších derivácií) na základe rozvojev sférických funkcií (s relatívne vysokým počtom členov – až po 2190),
- známe modely: EGM2008, EIGEN-6C4, atď.
- dobré informácie na stránke GFZ v Potsdame:
<http://icgem.gfz-potsdam.de>
- pomocou nich sa spočítajú aproximované hodnoty tiažového zrýchlenia vo výškach vpýpočtových (meracích) bodov a po aplikácií patričných korekcií (najmä masové, ale aj batymetrické) sa spočíta ÚBA.

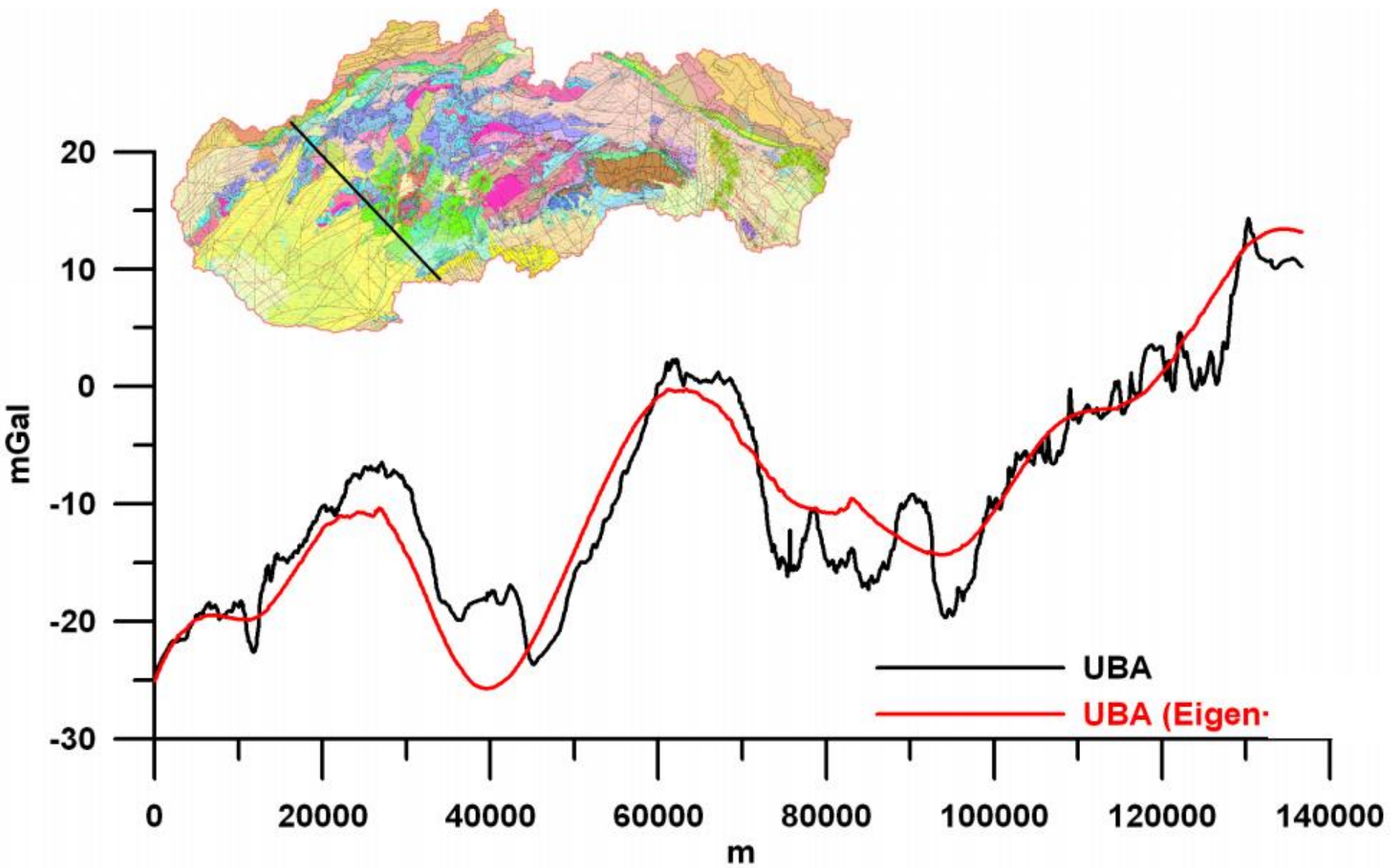


mapa ÚBA z GGM modelu
(EIGEN-6C4)



regionálna mapa ÚBA
(gravimetrická databáza SR)



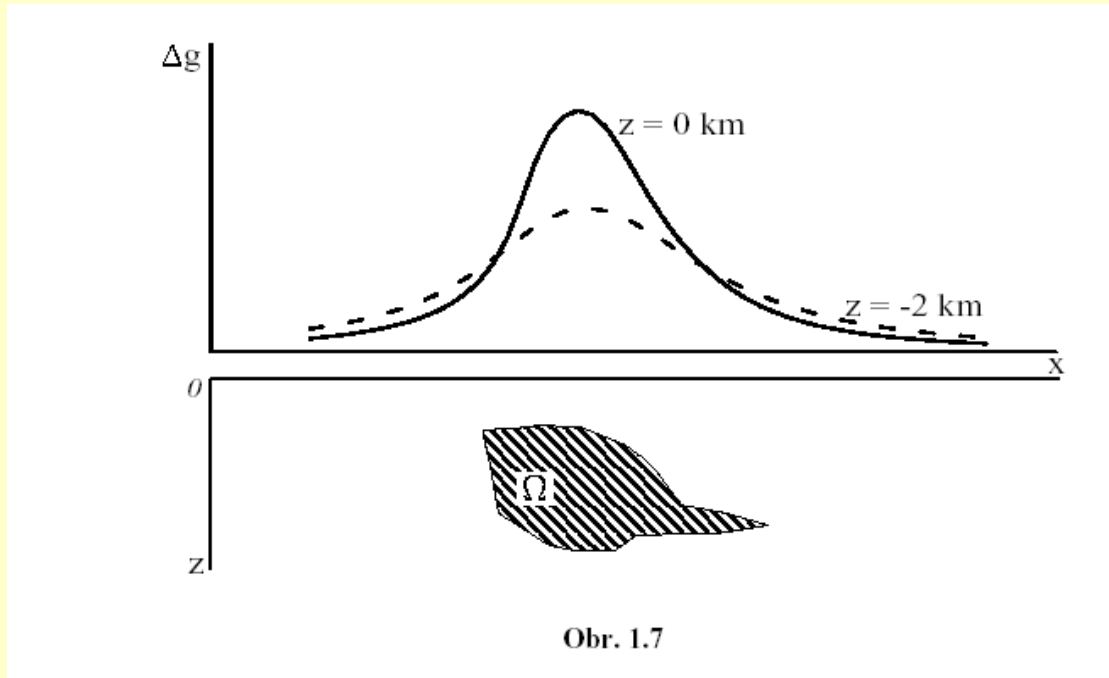


transformácie polí (ÚBA) v gravimetrii

analytické pokračovanie poľa (nahor, nadol)

transformácie polí (ÚBA) v gravimetrii

analytické pokračovanie poľa (nahor, nadol)



pole sa prepočíta na inú výškovú úroveň

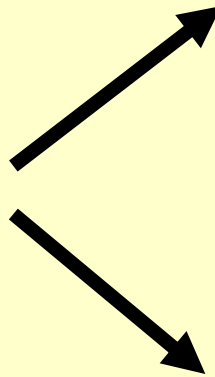
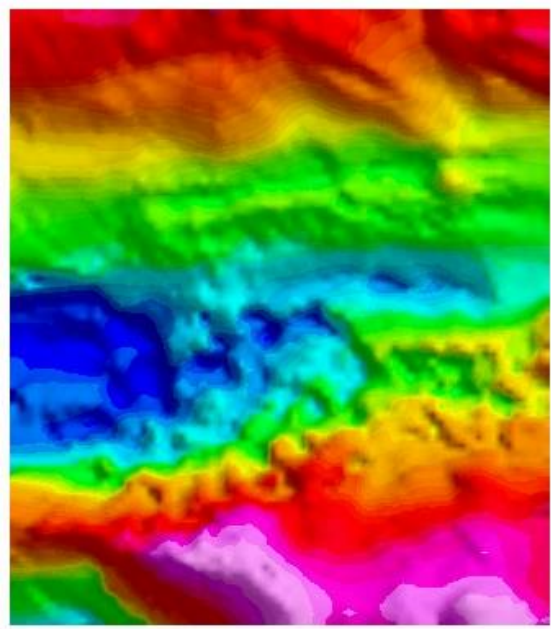
– prepočet je možné realizovať iba v priestore bez významných anomálnych zdrojov (pri porušení tejto podmienky môže dôjsť ku vzniku vážnych defektov)

riešenie tejto transformačnej úlohy je založené na riešení Laplaceovej diferenciálnej rovnice ($\nabla^2 U = 0$) v kartézskych súradniciach (skriptá: Matem. základy teórie geof. metód, II.diel, str.35 – 37) výsledkom je Fourierova transformácia riešenia = spektrálna charakteristika riešenia = $e^{-|k|z}$ (kde k-spektrálna premenná, z-hĺbková úroveň prepočtu)

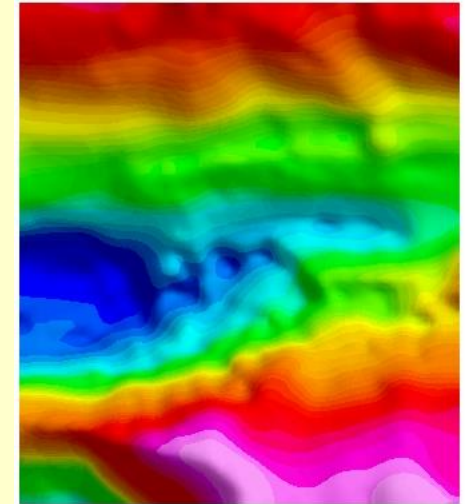
(predpokladá sa, že namerané pole ÚBA je definované na rovine – obmedz.)

transformácie polí(ÚBA) v gravimetrii

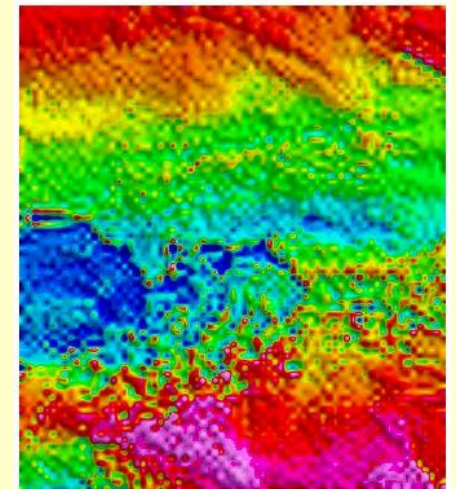
analytické pokračovanie poľa nadol



pokračovanie
nahor
(continuation
upwards)
(5000 m)



pokračovanie
nadol
(continuation
downwards)
(5000 m)



príklad: UBA z projektu TRANSALP, cca. 350 x 400 km

transformácie polí(ÚBA) v gravimetrii

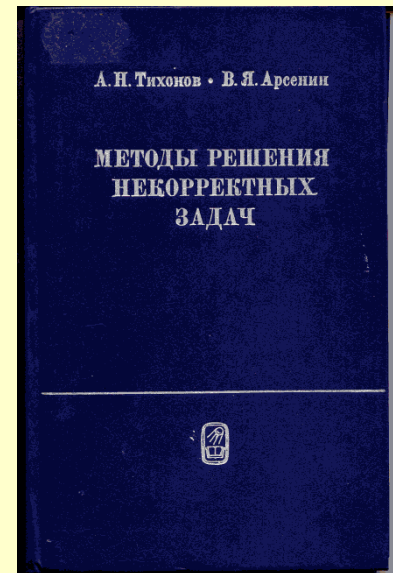
analytické pokračovanie poľa nadol

žiaľ pri analytickom prepočte nadol dochádza k rozpadu poľa niekedy skôr, ako je dosiahnutá hĺbková úroveň najplytších dôležitých zdrojov

- spôsobené je to prítomnosťou šumu a chýb v pôvodných dátach alebo výrazným okrajovým efektom (ktoré sa operáciou pokračovania nadol zvýrazia)

**liek – tlmenie oscilácií pomocou
nízko-pásmového filtra
(vyhladzujúceho filtra)
tzv. regularizácia**

(detaily vo výberovke, 5.ročník)



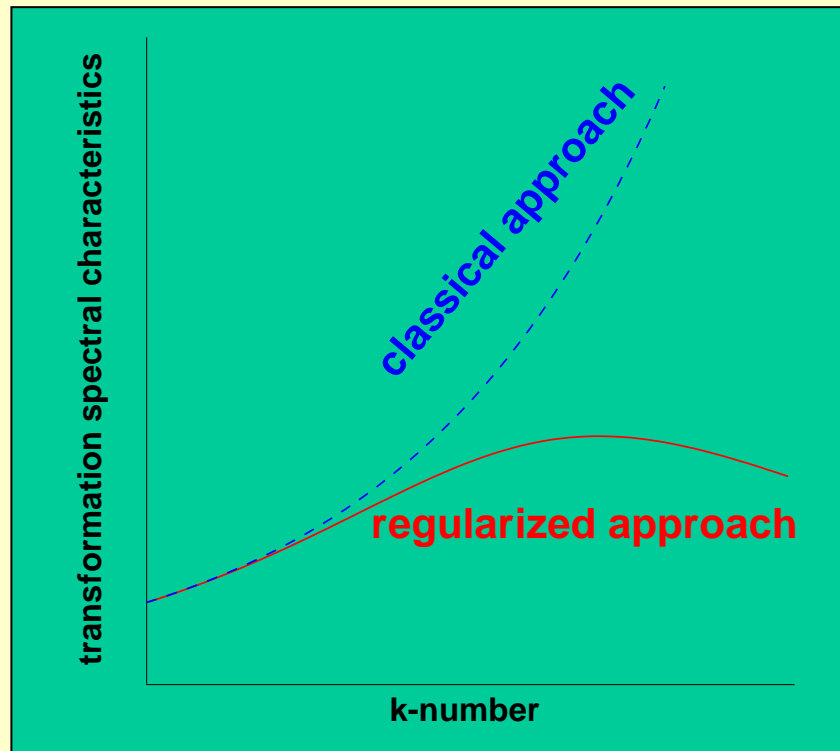
transformácie polí(ÚBA) v gravimetrii

analytické pokračovanie poľa nadol pomocou regularizácie

spektrálna charakteristika = $e^{|k|z}$ $\frac{1}{1 + \alpha k^2 e^{|k|z}}$

klasická
spektrálna
charakteristika

nízko-priepustný
(vyhladzujúci)
filter

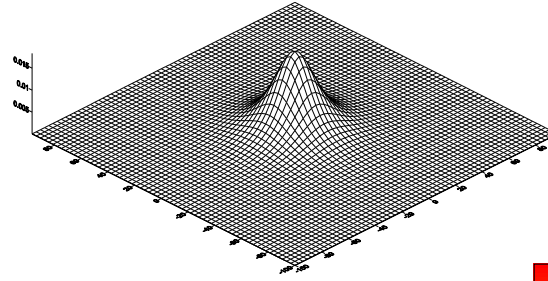
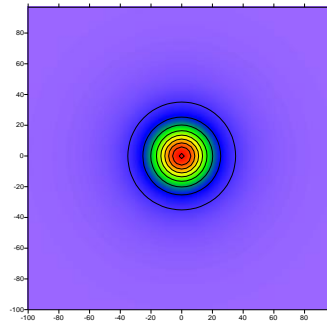


k – spektrálna premenná
z – hĺbka prepočtu
 α – parameter filtra
(určovaný špeciálnym
spôsobom)

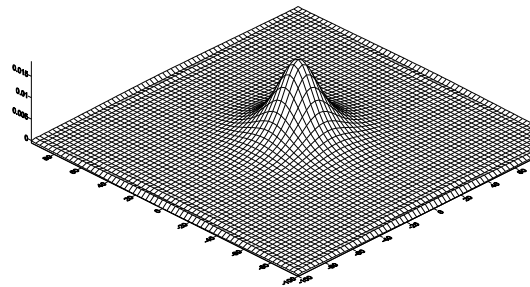
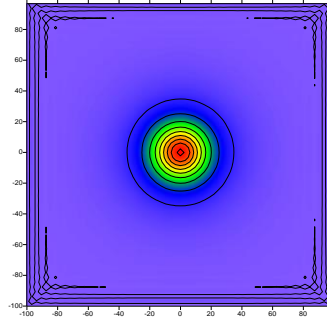
analytické pokračovanie poľa nadol

prepočet
na úroveň
 $z = 6$ m

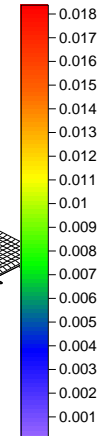
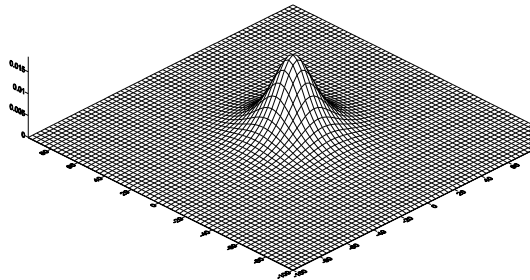
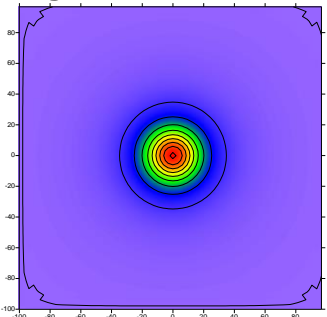
teor. values $z = 6$ m



continued values $z = 6$ m, error in maximum = 0.75%



regular. continued values $z = 6$ m, error in maximum = 0.40%



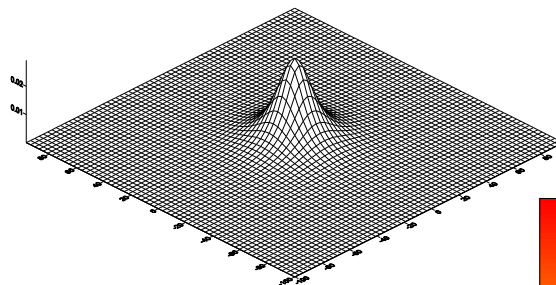
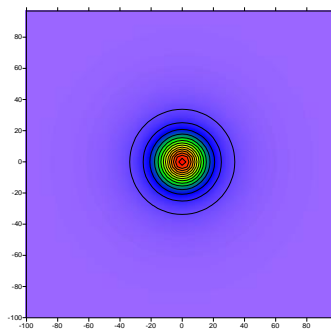
modelová
štúdia
vyžitia
regulariz.
pokračovania
nadol:

hranol
s hĺbkou
uloženia
hornej hrany
v 20 m

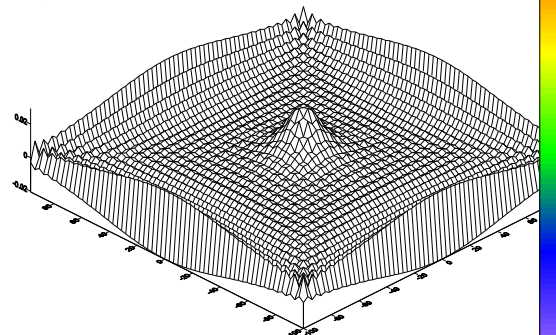
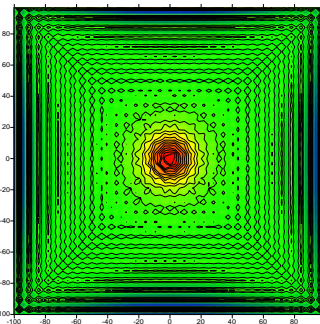
analytické pokračovanie poľa nadol

prepočet
na úroveň
 $z = 10$ m

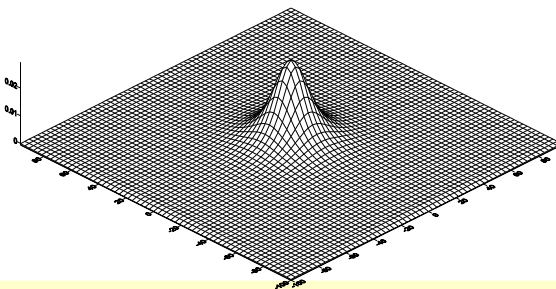
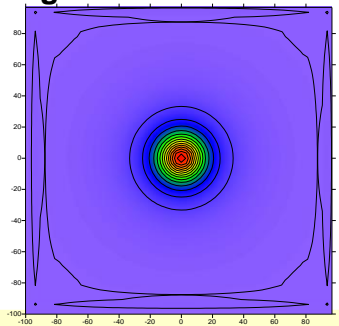
teor. values $z = 10$ m



continued values $z = 10$ m, error in maximum = 2.87%



regular. continued values $z = 10$ m, error in maximum = 0.55%



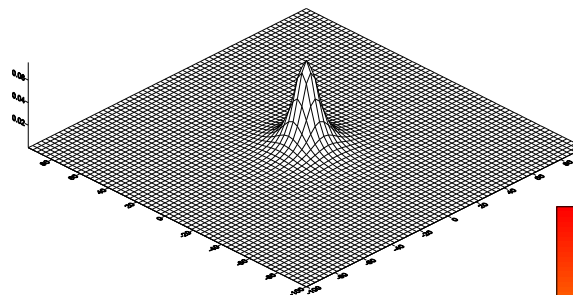
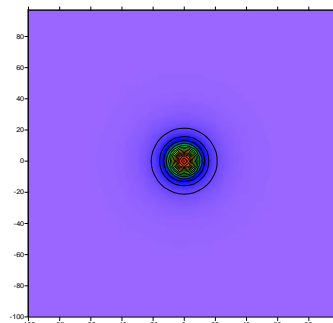
modelová
štúdia
vyžitia
regulariz.
pokračovania
nadol:

hranol
s hĺbkou
uloženia
hornej hrany
v 20 m

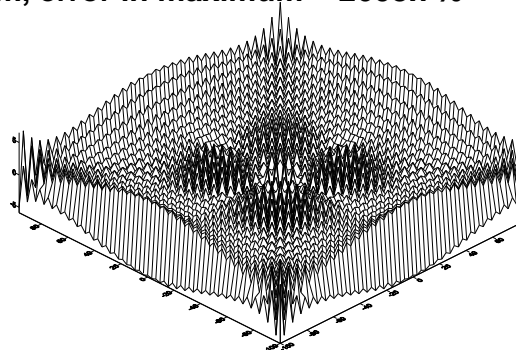
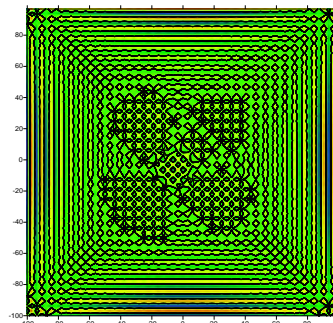
analytické pokračovanie poľa nadol

prepočet
na úroveň
 $z = 16$ m

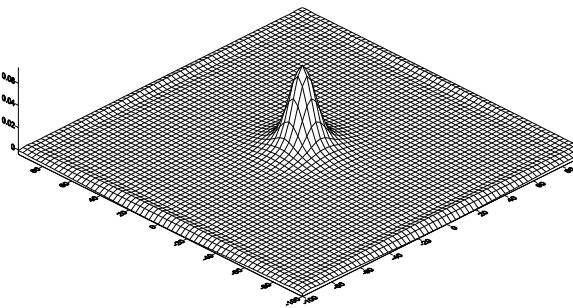
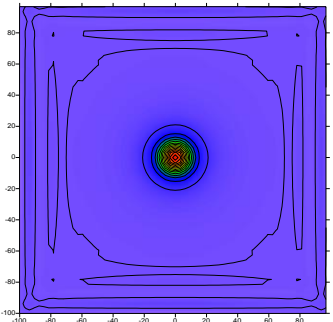
teor. values $z = 16$ m



continued values $z = 16$ m, error in maximum = 2608.7%



continued values $z = 16$ m, error in maximum = 1.97%



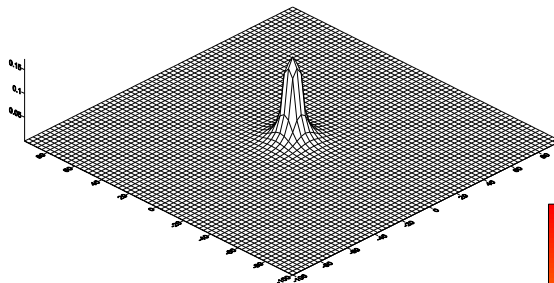
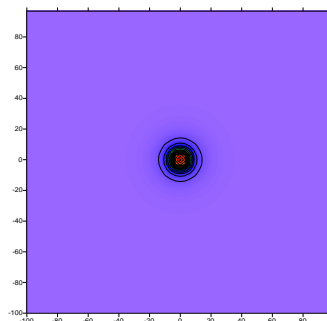
modelová
štúdia
vyžitia
regulariz.
pokračovania
nadol:

hranol
s hĺbkou
uloženia
hornej hrany
v 20 m

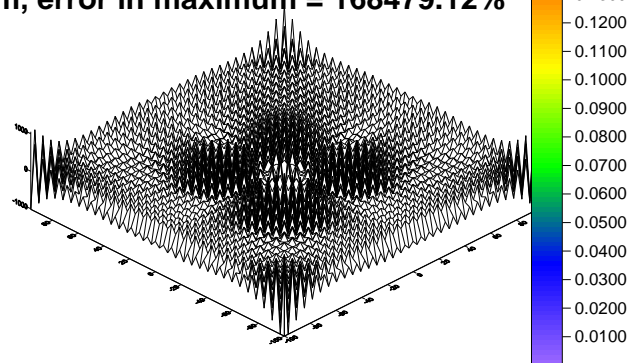
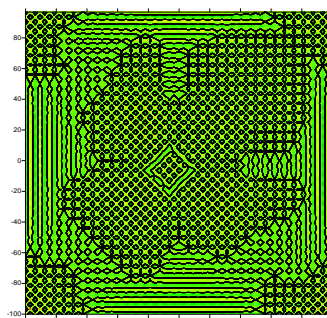
analytické pokračovanie poľa nadol

prepočet
na úroveň
 $z = 20$ m
(horný
okraj
telesa)

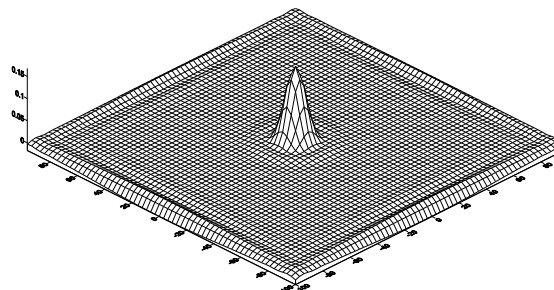
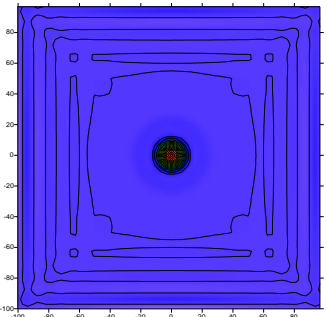
teor. values $z = 20$ m



continued values $z = 20$ m, error in maximum = 168479.12%



continued values $z = 20$ m, error in maximum = 2.77%



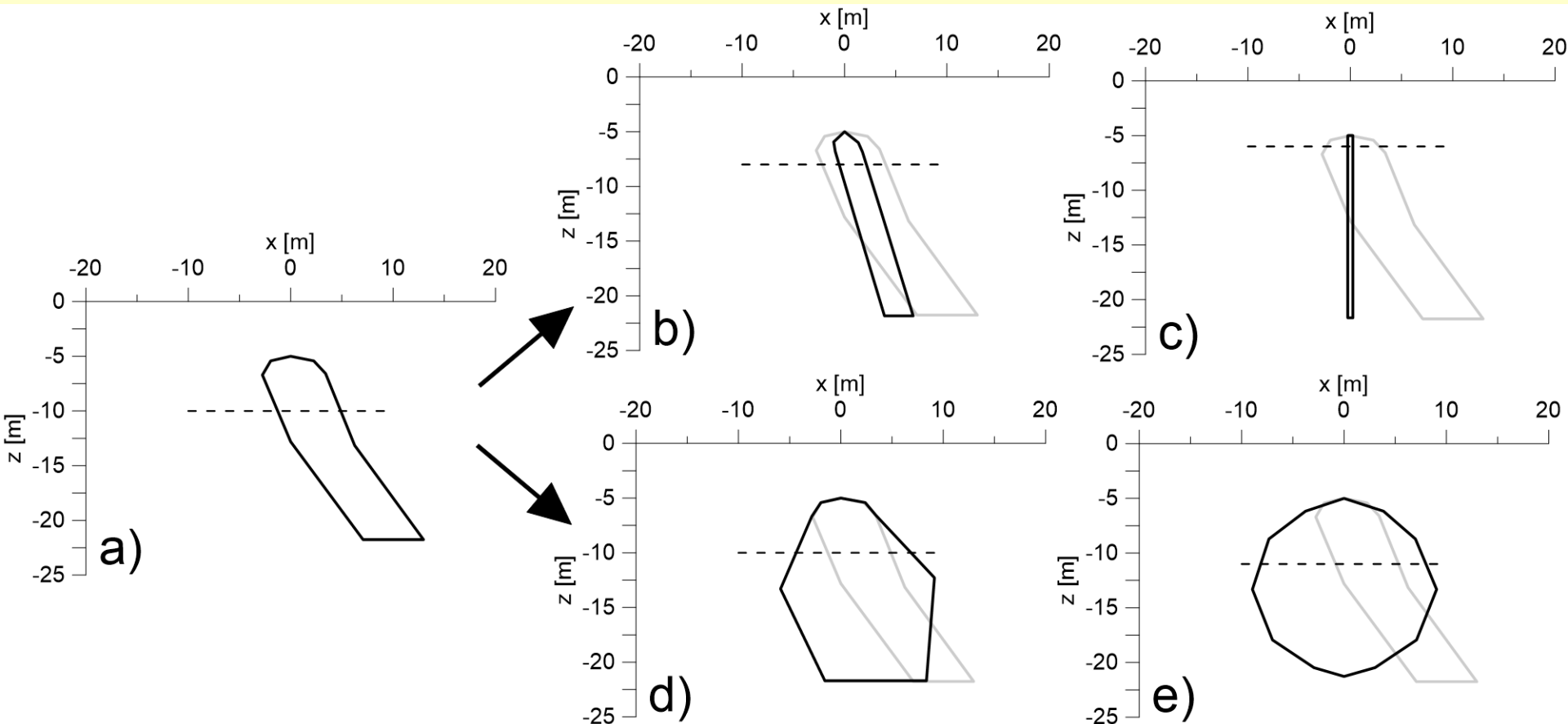
modelová
štúdia
vyžitia
regulariz.
pokračovania
nadol:

hranol
s hĺbkou
uloženia
hornej hrany
v 20 m

analytické pokračovanie poľa nadol

Teoreticky by sme mali môcť maximálne pokračovať nadol po horný okraj telesa, v praxi sa však dostávame hlbšie (závisí to od viacerých parametrov – aj od tvaru telesa).

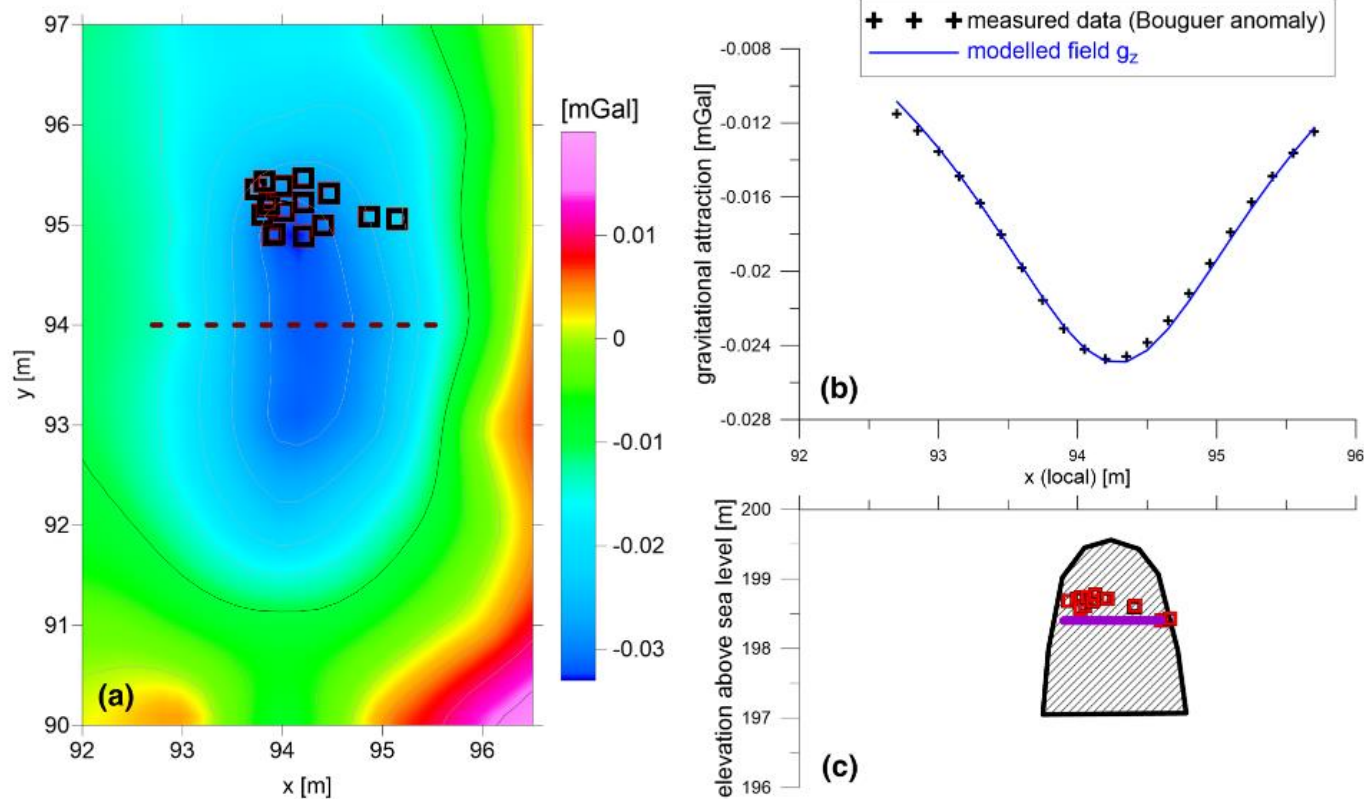
syntetický (teoretický) model



analytické pokračovanie poľa nadol

Teoreticky by sme mali môcť maximálne pokračovať nadol po horný okraj telesa, v praxi sa však dostávame hlbšie (závisí to od viacerých parametrov – aj od tvaru telesa).

praktický príklad



interpretácia vybranej anomálie od dutiny (krypty), dóm sv. Mikuláša v Trnave

transformácie polí (ÚBA) v gravimetrii

**výpočet vyšších derivácií
(a ich pomerov)**

transformácie polí (ÚBA) v gravimetrii

výpočet vyšších derivácií

- vertikálne derivácie: $V_{zz} = \partial \Delta g_B / \partial z$ a $V_{zzz} = \partial^2 \Delta g_B / \partial z^2$

- horizontálne derivácie: $V_{xz} = \partial \Delta g_B / \partial x$ a $V_{yz} = \partial \Delta g_B / \partial y$

a z nich tvorený

horizontálny gradient $HG = \sqrt{(\partial \Delta g_B / \partial x)^2 + (\partial \Delta g_B / \partial y)^2}$

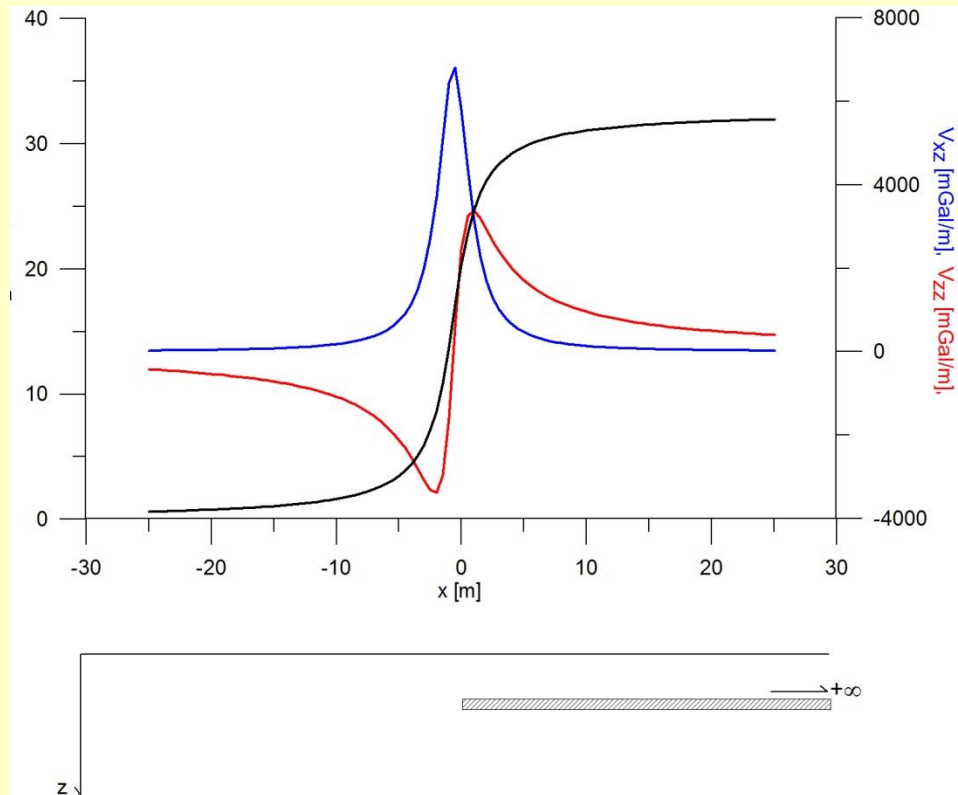
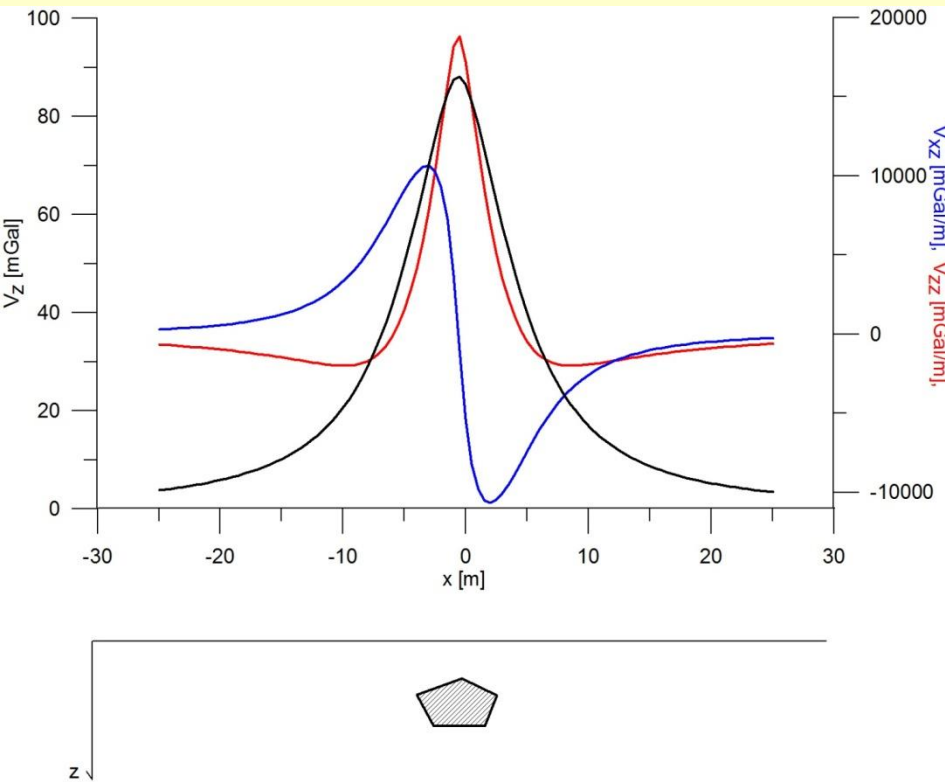
- analytický signál (totálny gradient)

$$AS = \sqrt{(\partial \Delta g_B / \partial x)^2 + (\partial \Delta g_B / \partial y)^2 + (\partial \Delta g_B / \partial z)^2}$$

(využívaný najmä v magnetometrii)

transformácie polí (ÚBA) v gravimetrii

výpočet vyšších derivácií



transformácie polí (ÚBA) v gravimetrii

výpočet vyšších derivácií

numerická realizácia –

- v priestorovej oblasti – kĺzajúce konvolučné filtre (okná):

– FIR-filtre (filtre s konečným počtom prvkov)

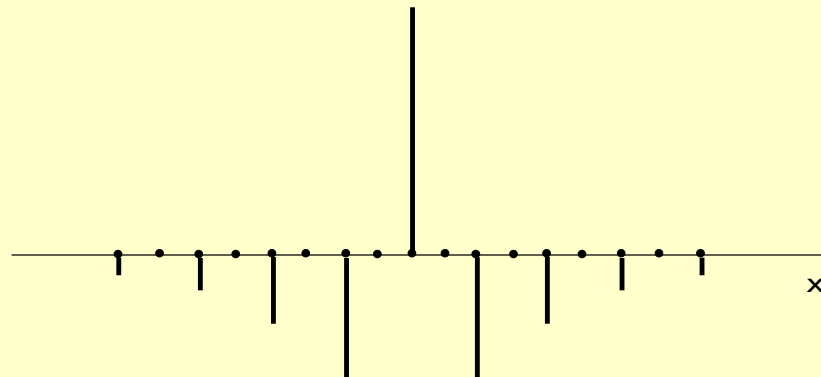
napr. pre horiz. deriváciu:

tzv. konečné diferencie: $\partial\Delta g_B/\partial x \approx [\Delta g_B(+s) - \Delta g_B(-s)]/2s$

(s – krok medzi bodmi profilu alebo bunkami gridu)

– IIR-filtre (filtre s nekonečným počtom prvkov)

napr. pre vertik. deriváciu:



transformácie polí (ÚBA) v gravimetrii

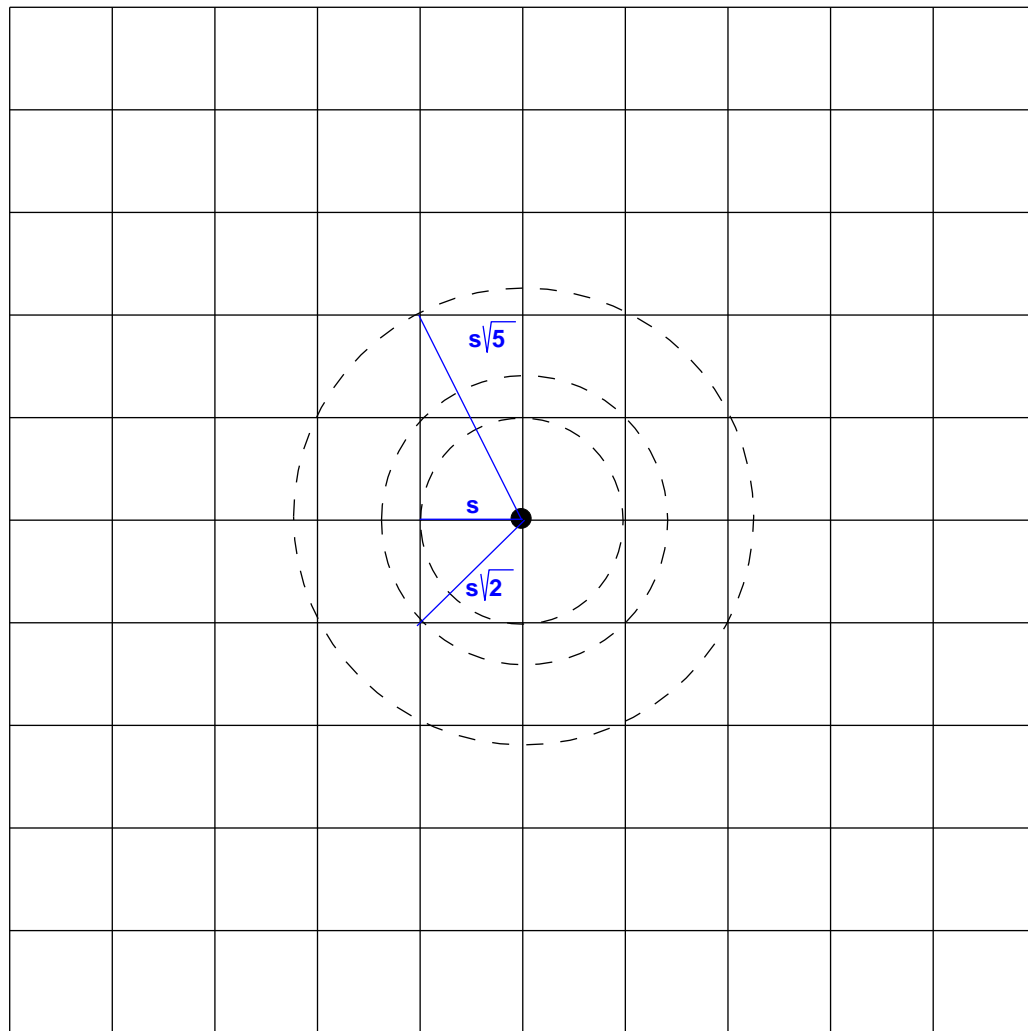
výpočet vyšších derivácií

numerická realizácia –

- v priestorovej oblasti –
klzájúce konvolučné filtre (okná):

v prípade práce s gridmi (mapami)
sa používajú tzv. kruhovo
symetrické konvolučné
filtre (nie krížové),
hodnoty na jednotl. Kružniciach
sa sumujú a násobia koeficientami

odvodené viacerými
autormi (V_{zzz}): Elkins,
Rosenbach, Baranov, atď.



transformácie polí (ÚBA) v gravimetrii

výpočet vyšších derivácií

numerická realizácia –

- v spektrálnej oblasti – využívajúc konvolučnú teorému

spektrálne charakteristiky:

n-tá horizontálna derivácia: $(ik)^n$

(vyplýva to z vlastnosti FT z derivácie)

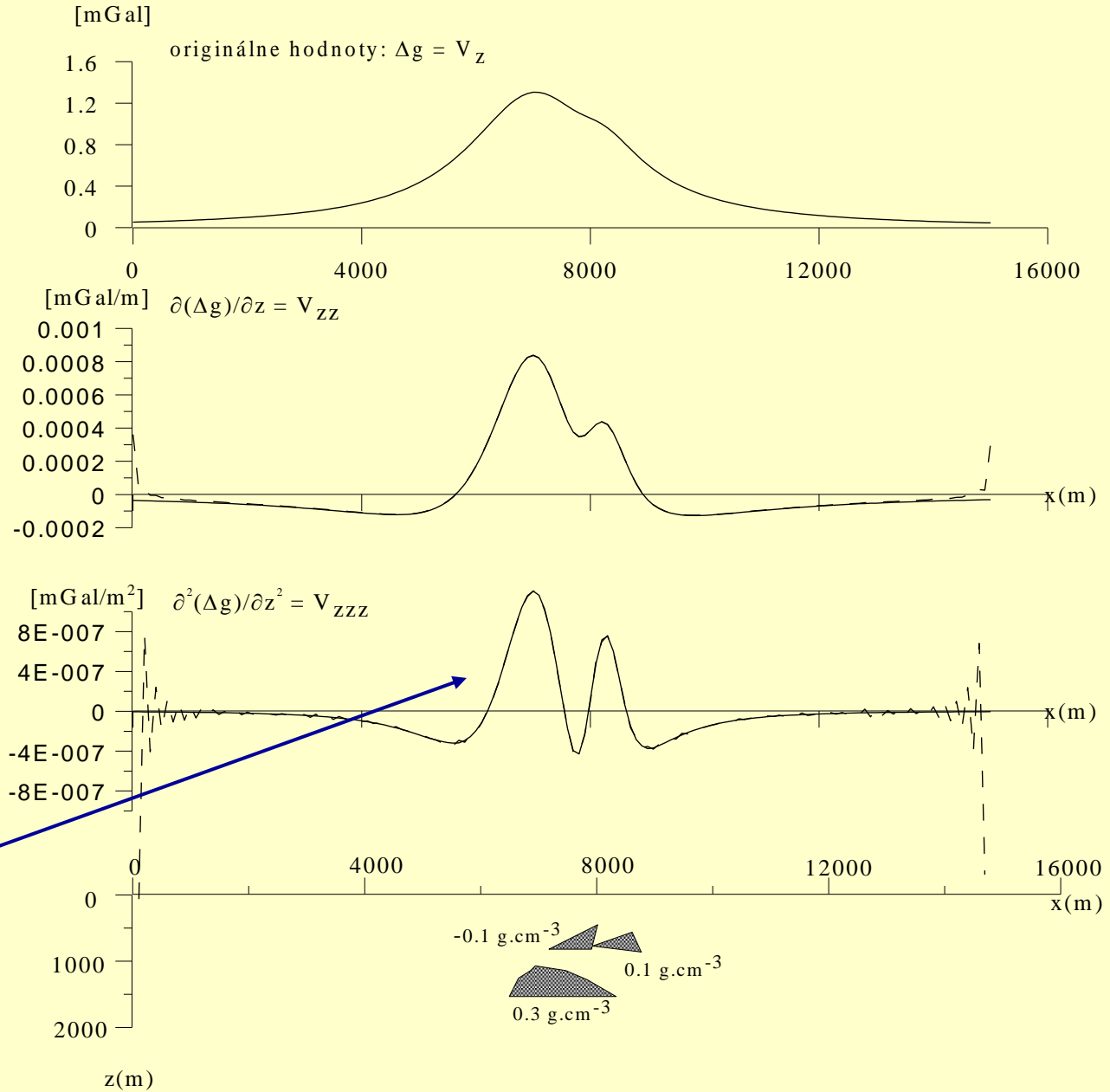
n-tá vertikálna derivácia: $|k|^n$

(získa sa výpočtom FT z priamej úlohy v gravimetrii)

(k – spektrálna premenná)

výpočet 1. a 2. vertikálnej derivácie pre syntetický model

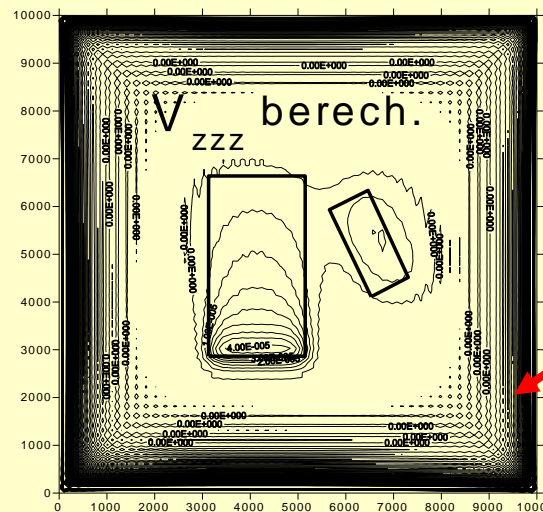
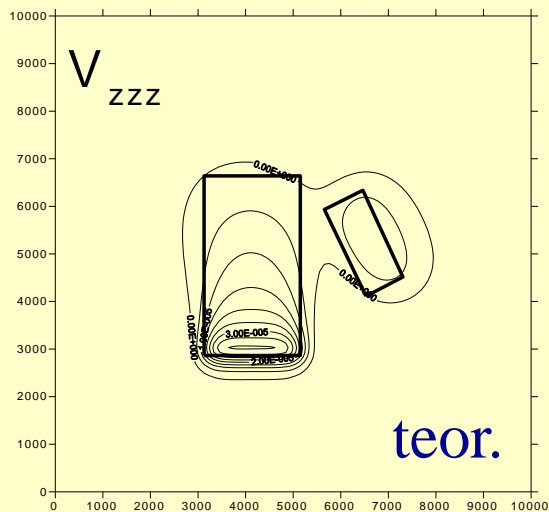
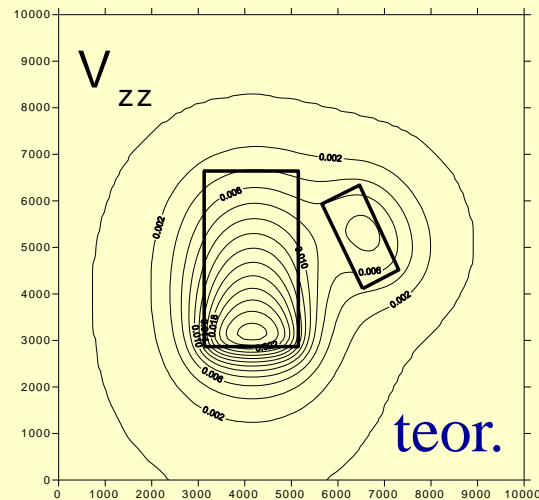
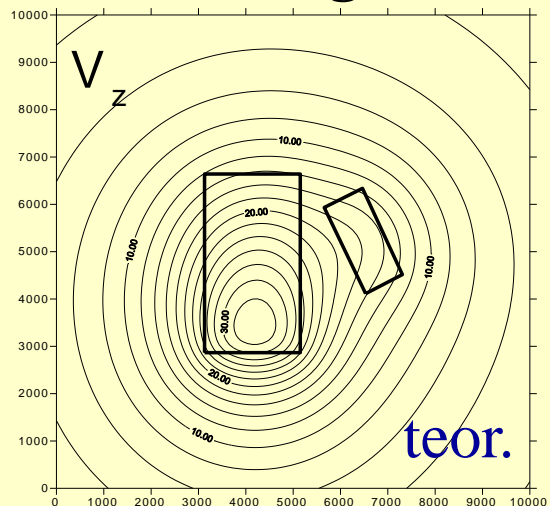
**výpočet
vyšších
vertik.
derivácií**
modelový príklad



výpočtom V_{zz}
a V_{zzz} sa zvyšuje
„dynamickosť“
poľa (krivky,
- ale vznikajú aj
falošné anomálie

transformácie polí (ÚBA) v gravimetrii

výpočet 2. vertikálneho gradientu – modelová štúdia



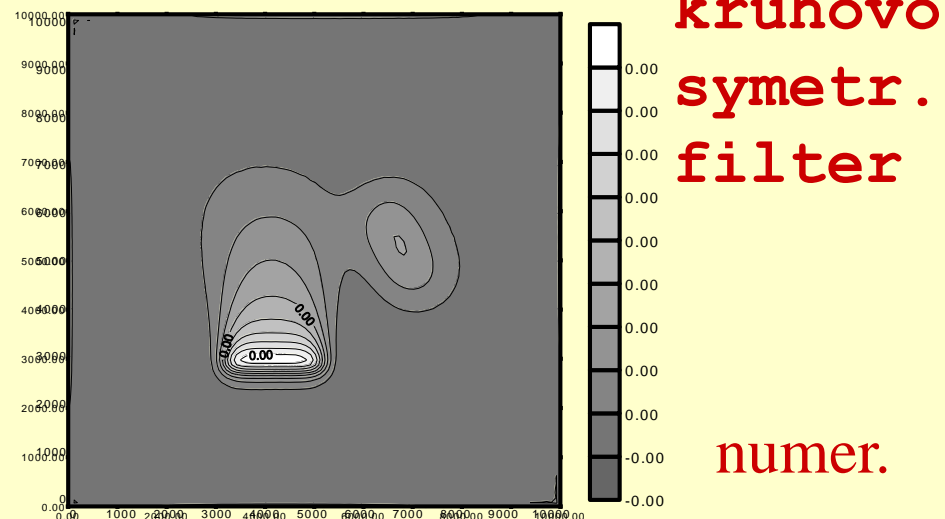
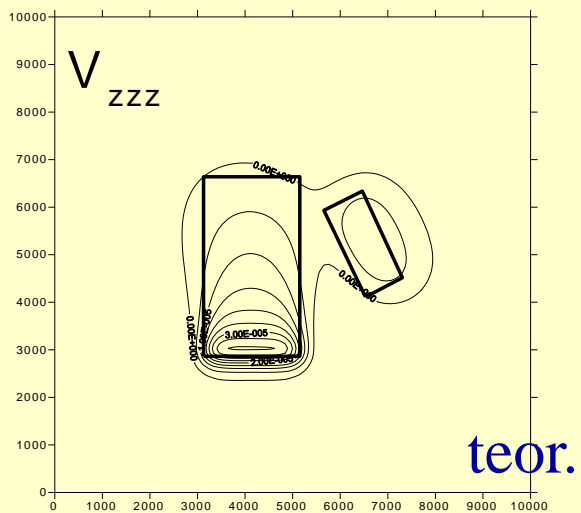
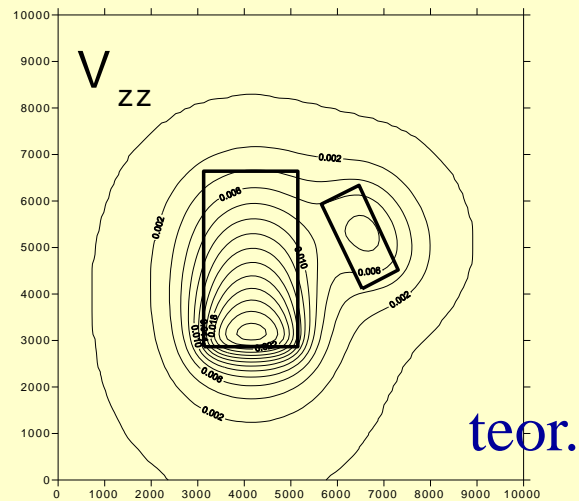
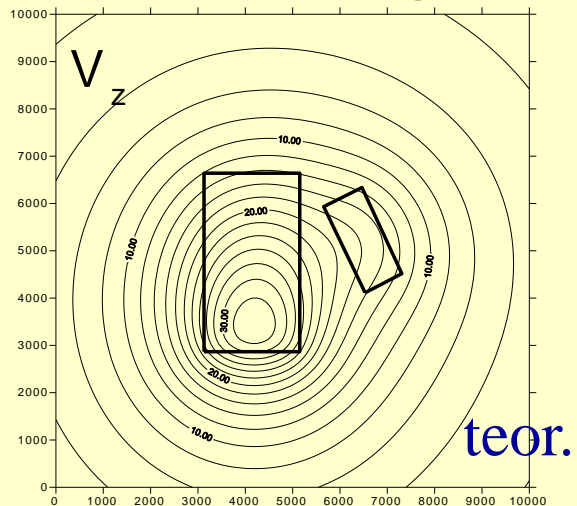
**krížový
filter**
výrazný
okrajový
efekt

numer.

(vypočítaný zle)

transformácie polí (ÚBA) v gravimetrii

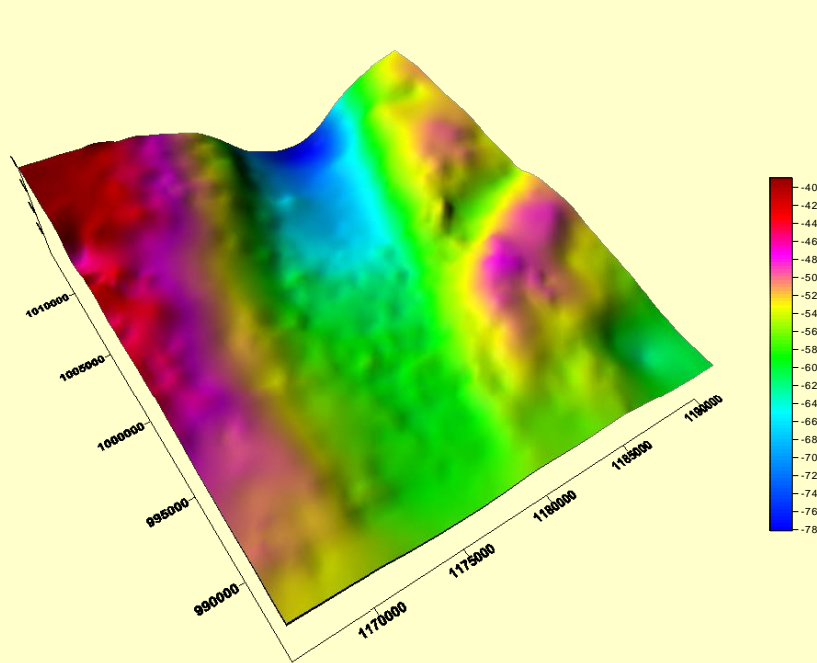
výpočet 2. vertikálneho gradientu – modelová štúdia



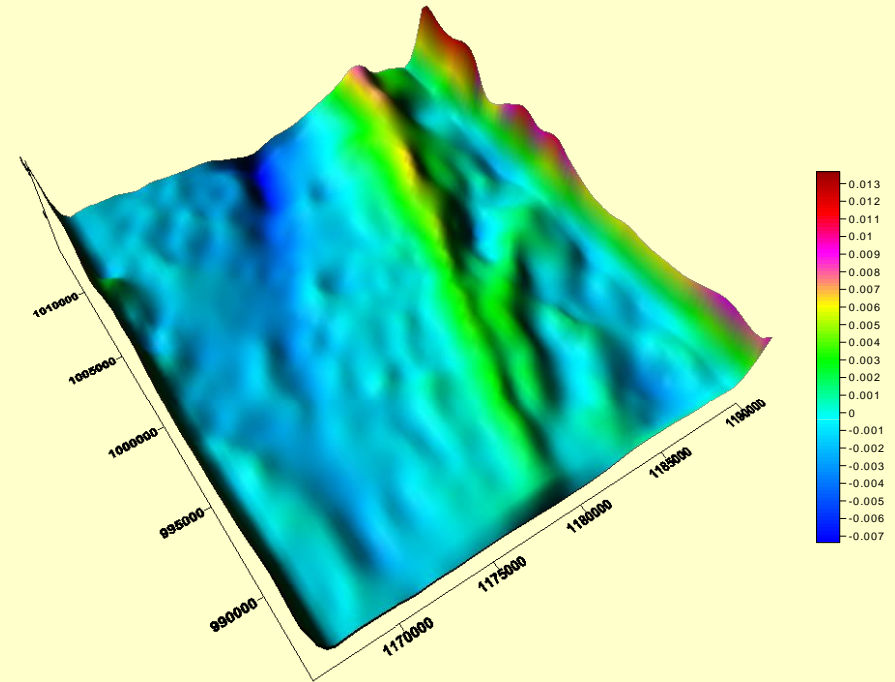
(vypočítaný dobre)

transformácie polí (ÚBA) v gravimetrii

výpočet vyšších derivácií – horizontálny gradient (V_{xz}) - príklad
regionálna mapa ÚBA – oblasť Mŕtveho mora



originálne ÚBA



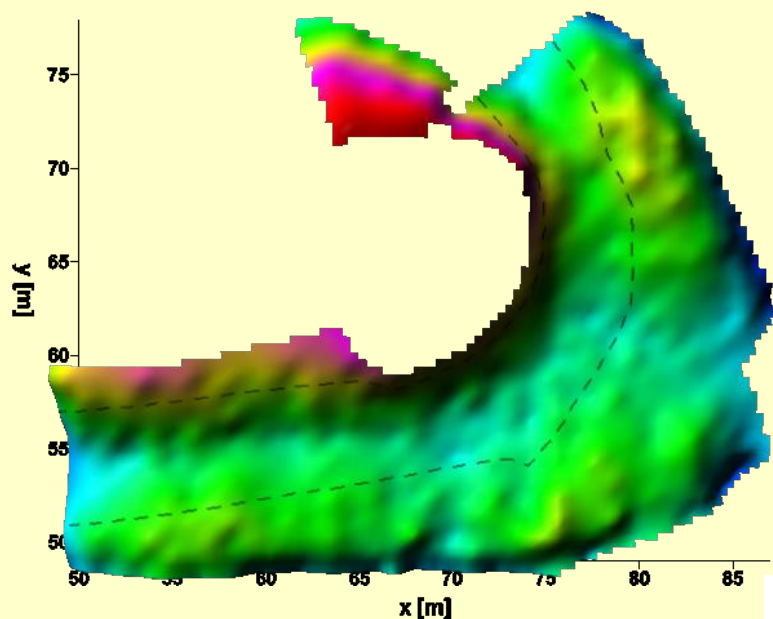
horizontálny gradient (V_{xz})

transformácie polí (ÚBA) v gravimetrii

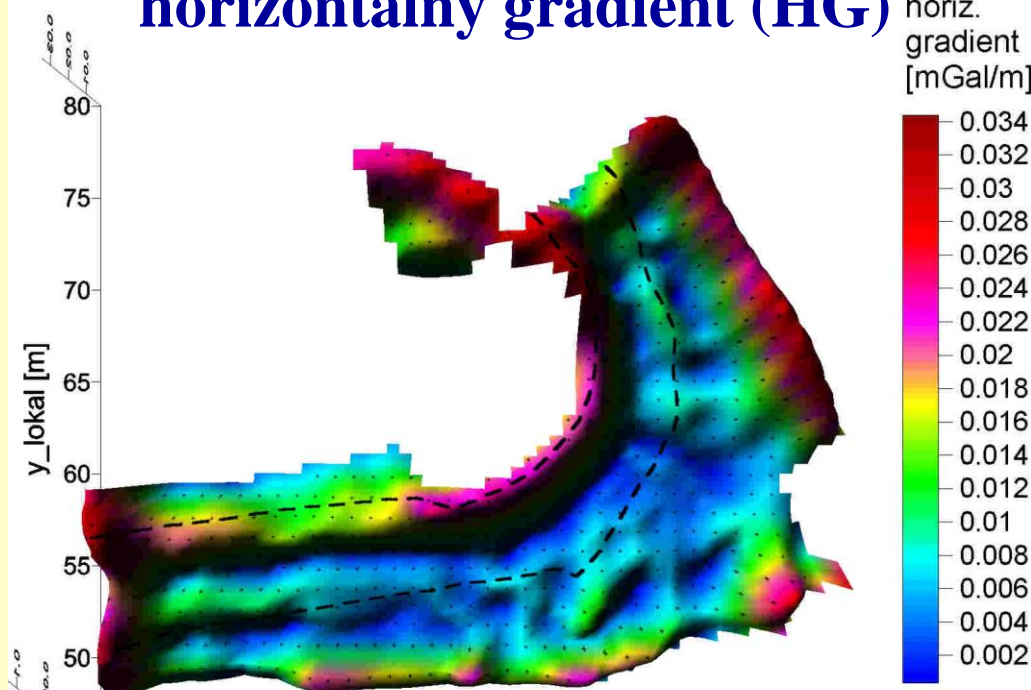
výpočet vyšších derivácií – horizontálny gradient (HG) - príklad

lokálne maximá horizontálneho gradientu poukazujú na dôležité hustotné hranice - v našom prípade na ohraničenia dutín a priestorov so sníženou hustotou

originálne ÚBA



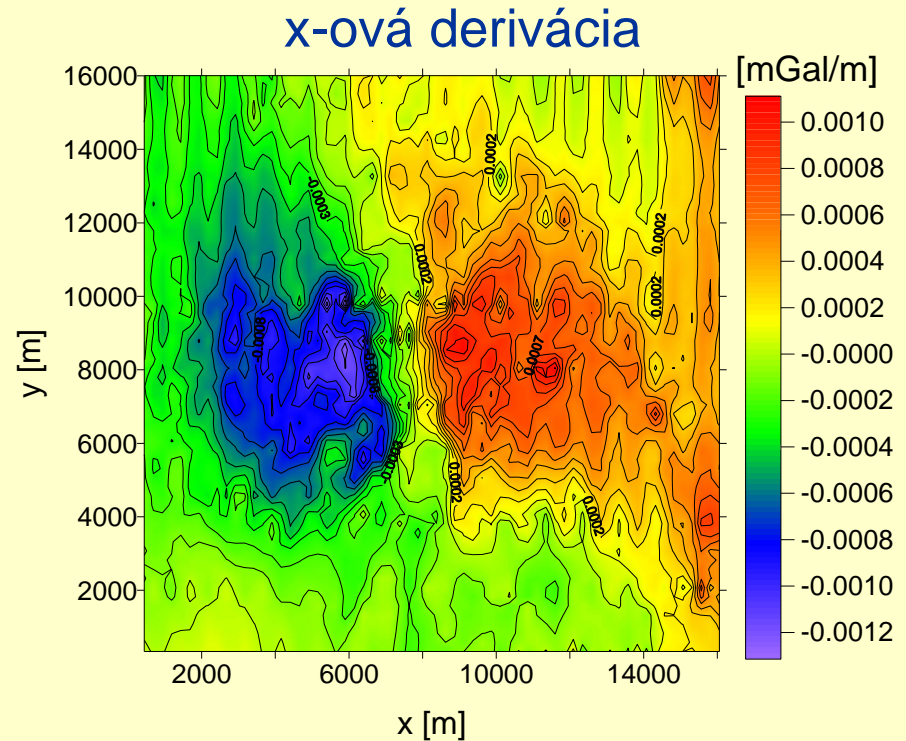
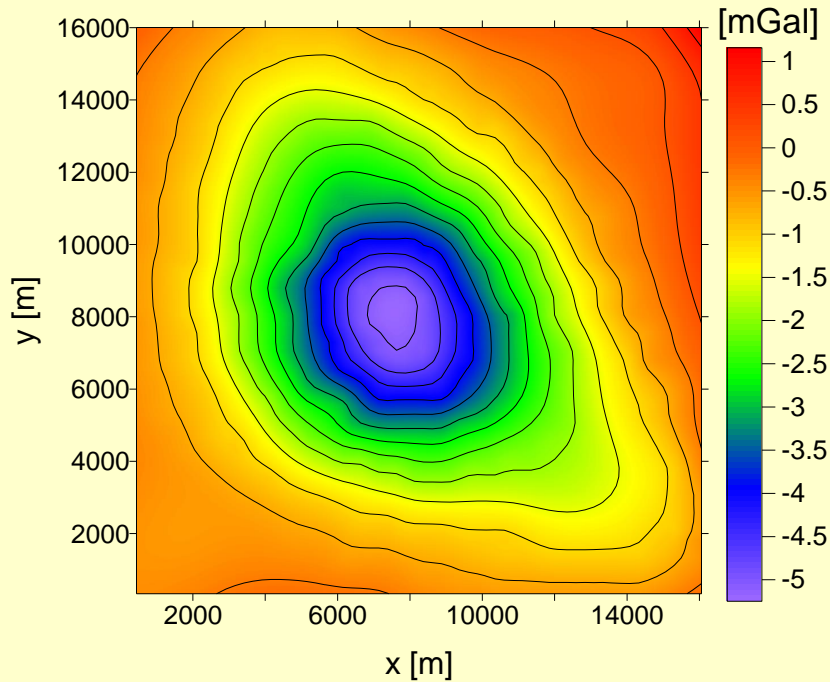
horizontálny gradient (HG)



mikrogravimetria – Oravský hrad, Veľká terasa

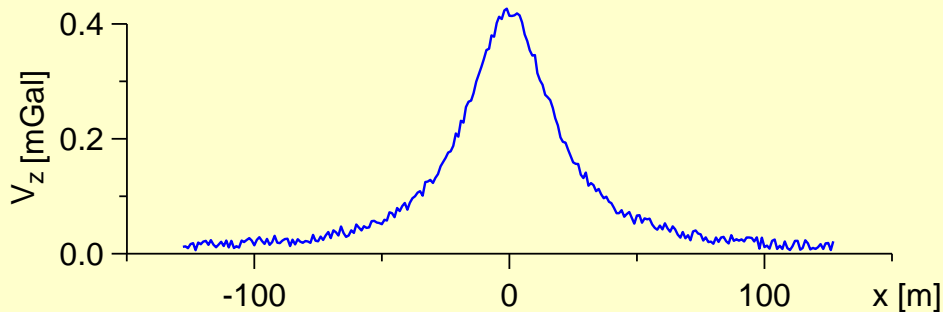
transformácie založené na deriváciách:

máme tu problém so zvýraznením šumu a chýb –
výpočet derivácie je nestabilná operácia

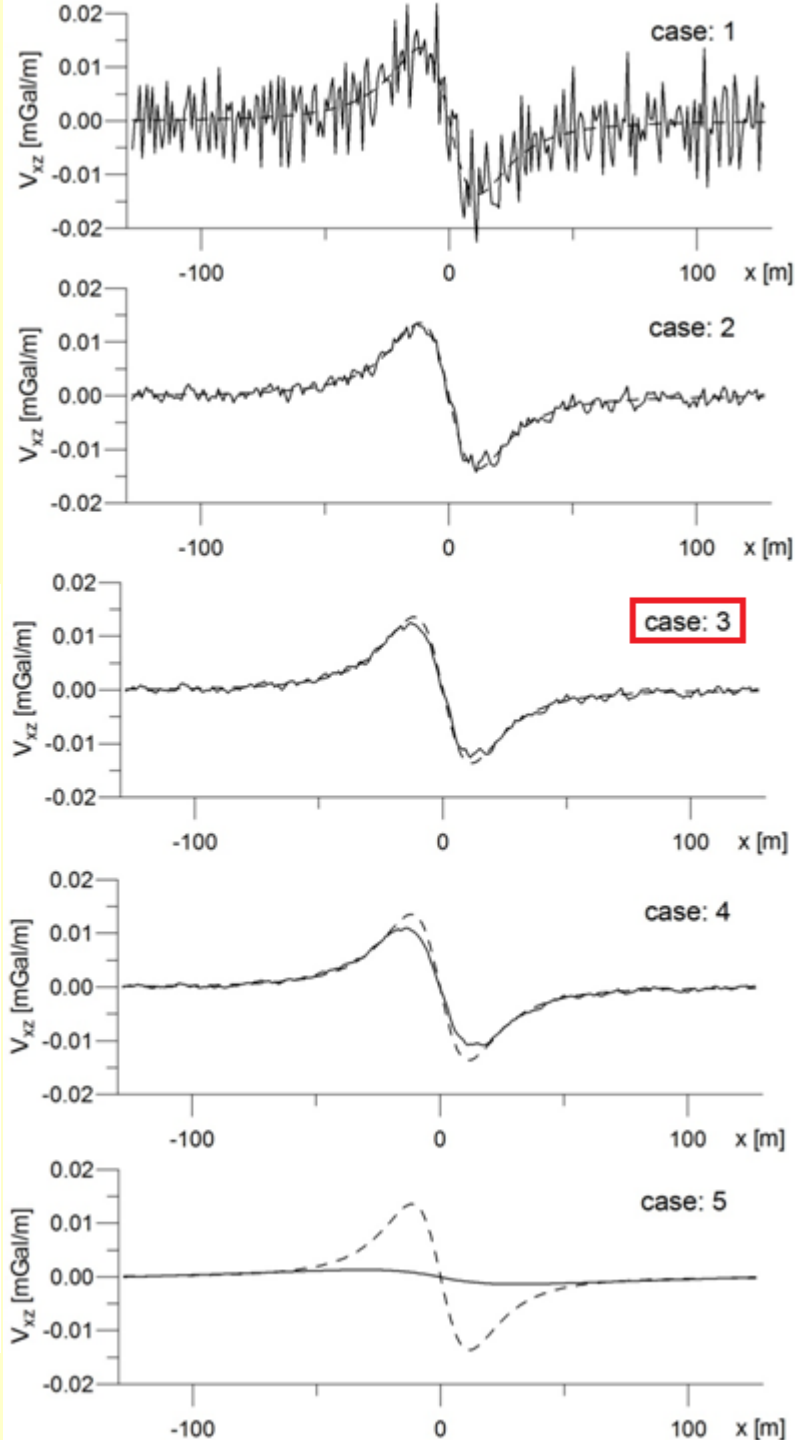
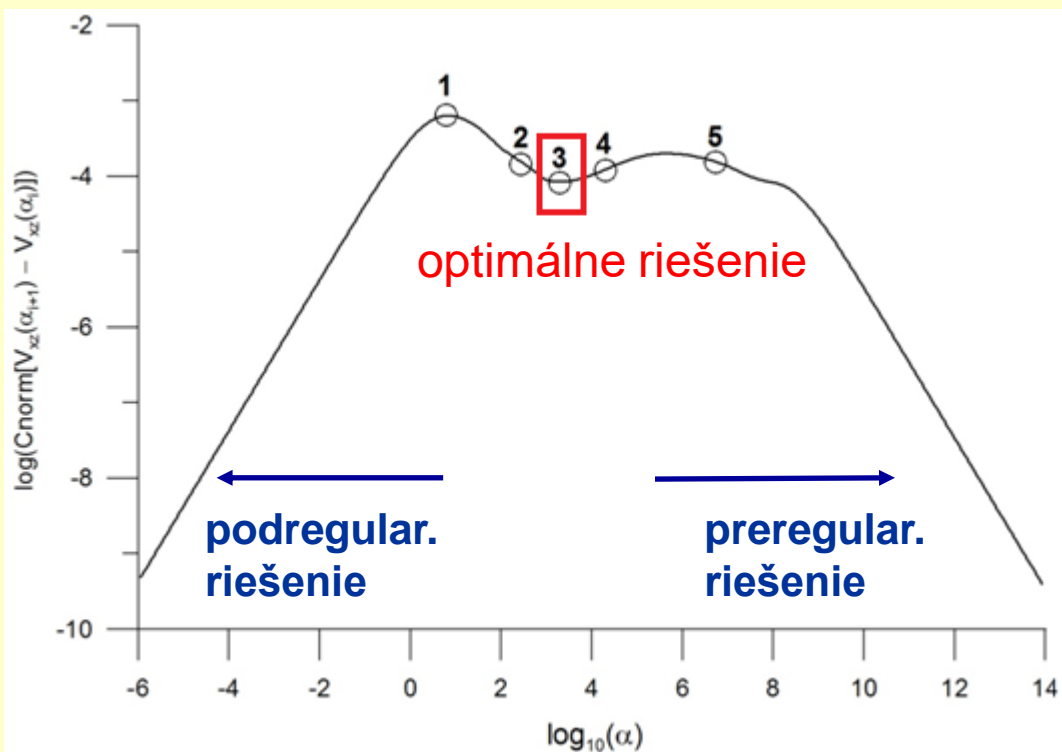


reziduálna Bouguerova anomália nad solným dómom
Louisiana, USA (podľa Nettleton, 1979)

jedna z možností “liečby” – Tichonovova regularizácia:
použitie špeciálneho vyhladzujúceho filtra



Príklad: analýza C-norím
(pre x-ovú deriváciu poľa V_z pre horiz. valec)



v súčasnosti veľmi populárne - transformácie založené na pomeroch derivácií (najmä na plytšie štruktúry):

- väčšina z nich je založená na pomeroch derivácií
- derivácie sú vyjadrované v x-, y- a z-ovom smere
- derivácie sú počítané v priestorovej alebo spektrálnej oblasti

zoznam najznámejších transformácií (založených na pomeroch derivácií)

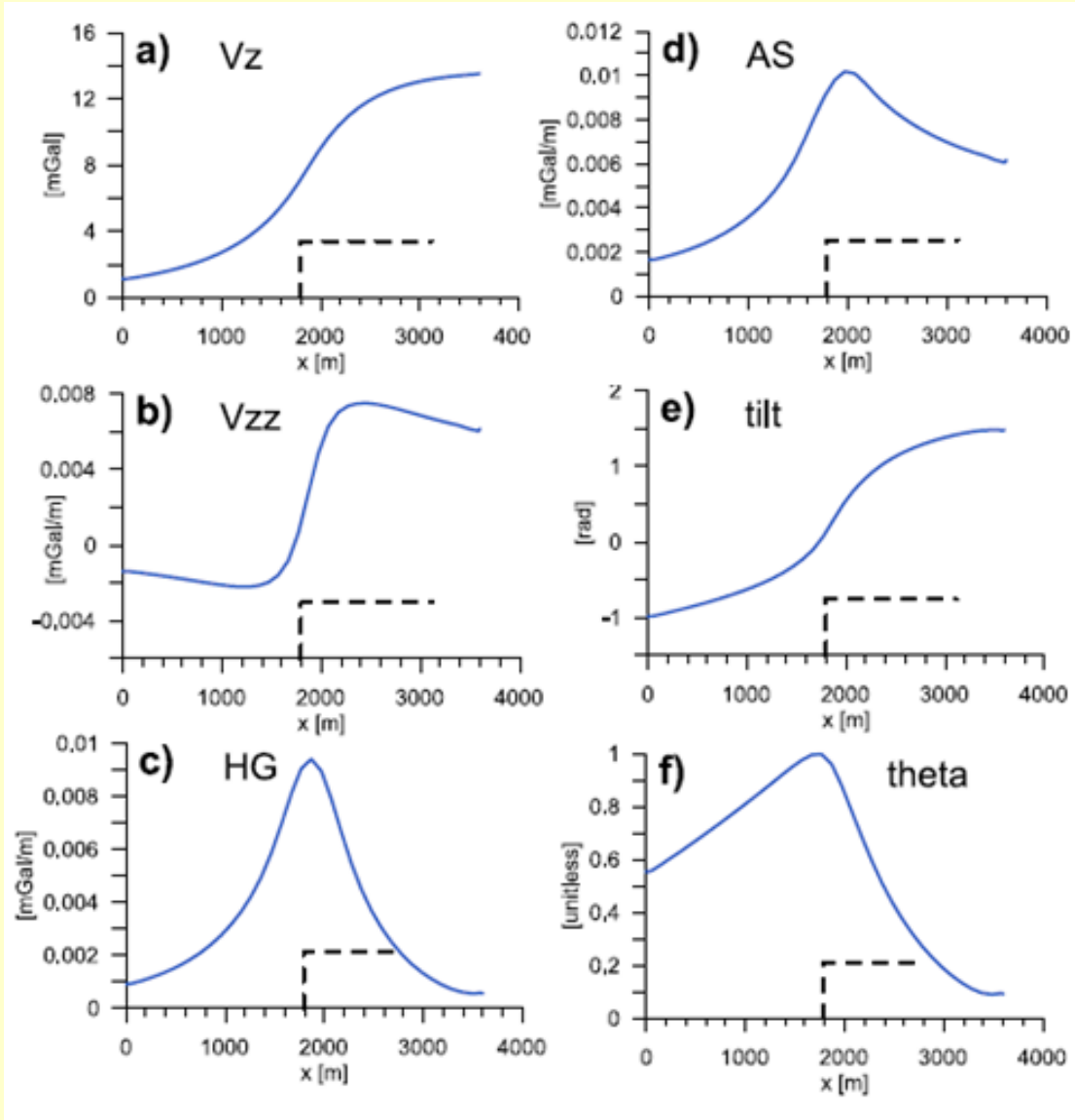
- derivatives of the input field: $\partial f / \partial x$, $\partial f / \partial y$ and $\partial f / \partial z$,
- horizontal gradient: $HG = \sqrt{(\partial f / \partial x)^2 + (\partial f / \partial y)^2}$,
- analytical signal: $AS = \sqrt{(\partial f / \partial x)^2 + (\partial f / \partial y)^2 + (\partial f / \partial z)^2}$,
- tilt derivative: $\text{tilt} = \arctg \frac{\partial f / \partial z}{HG}$, (Miller and Singh, 1994; Verduzco et al., 2004)
- theta derivative: $\cos(\theta) = \frac{HG}{AS}$, (Wijns et al., 2005)

transformácie založené na pomeroch derivácií:

- teoretické krivky
(nad kontaktom)

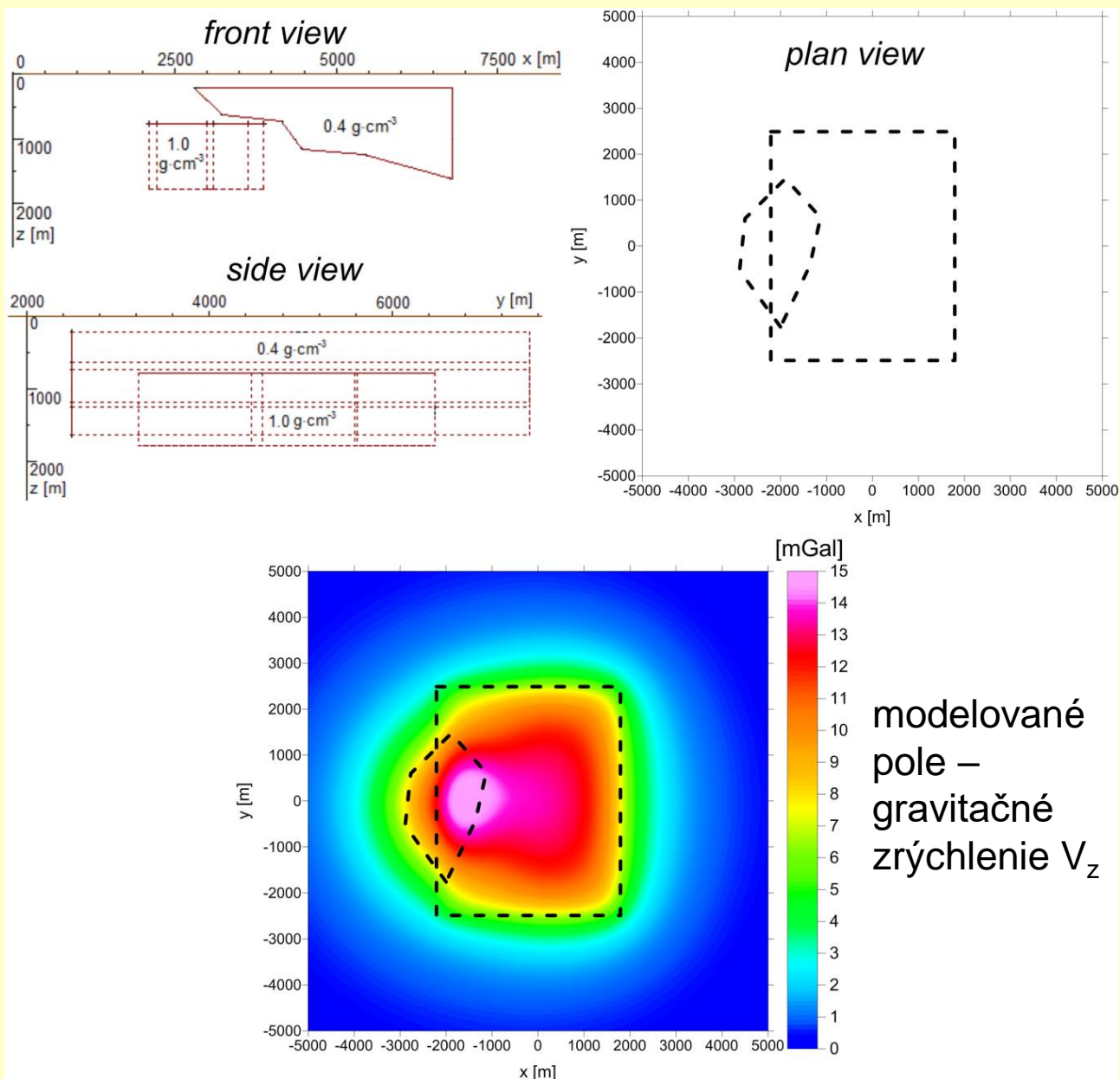
Tieto sú:

- a) buď so strmším
gradientom ako ÚBA (V_z),
- b) alebo tam dosahujú
maximum.



transformácie založené na deriváciách:

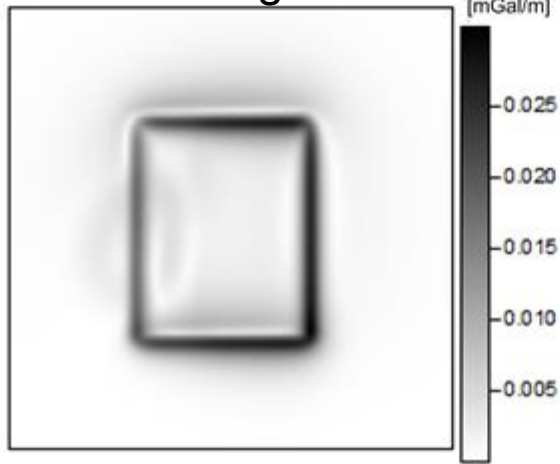
- syntetický model (2 telesá nad sebou)



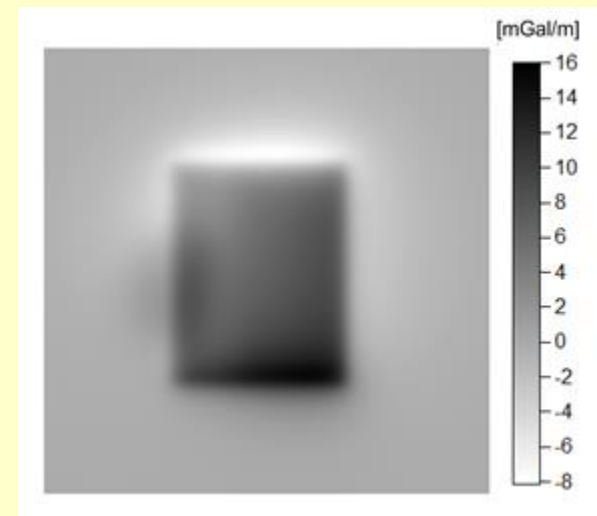
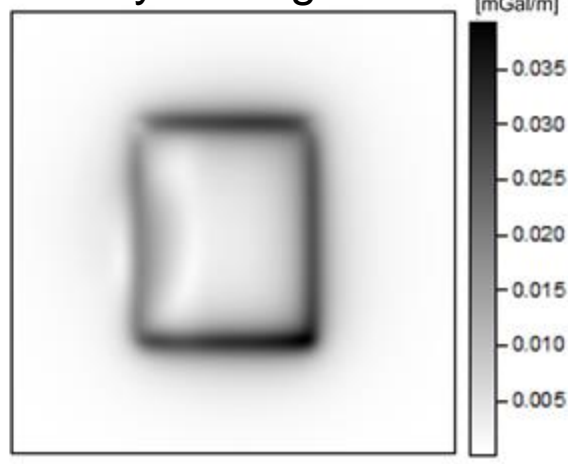
transformácie založené na deriváciách:

- syntetický model (2 telesá nad sebou)

horizontal gradient

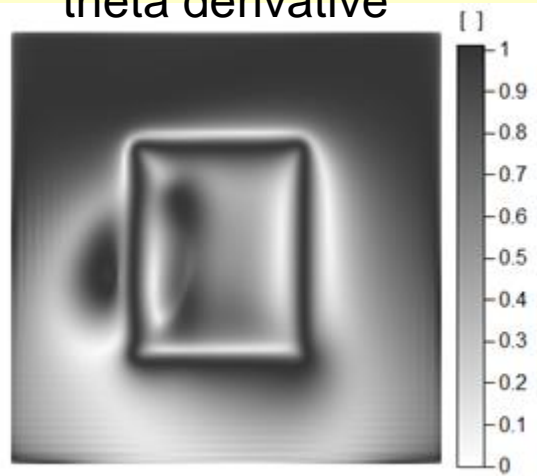


analytical signal

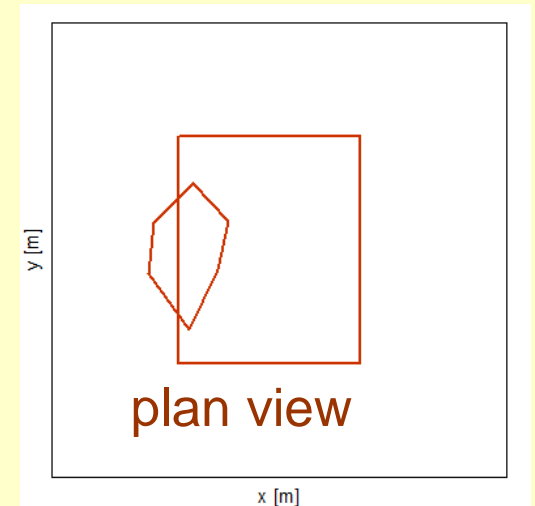
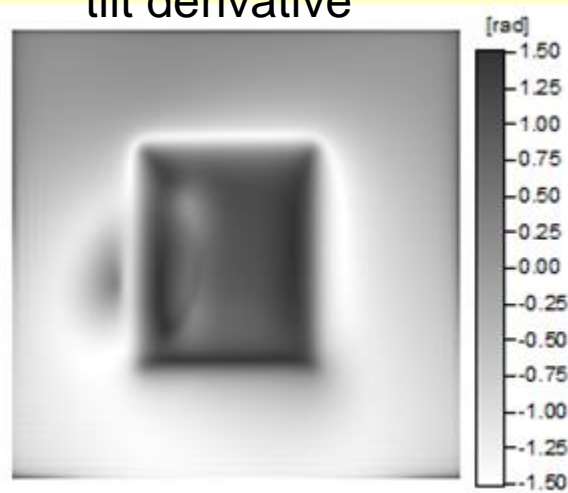


1. vertikálna derivácia

theta derivative



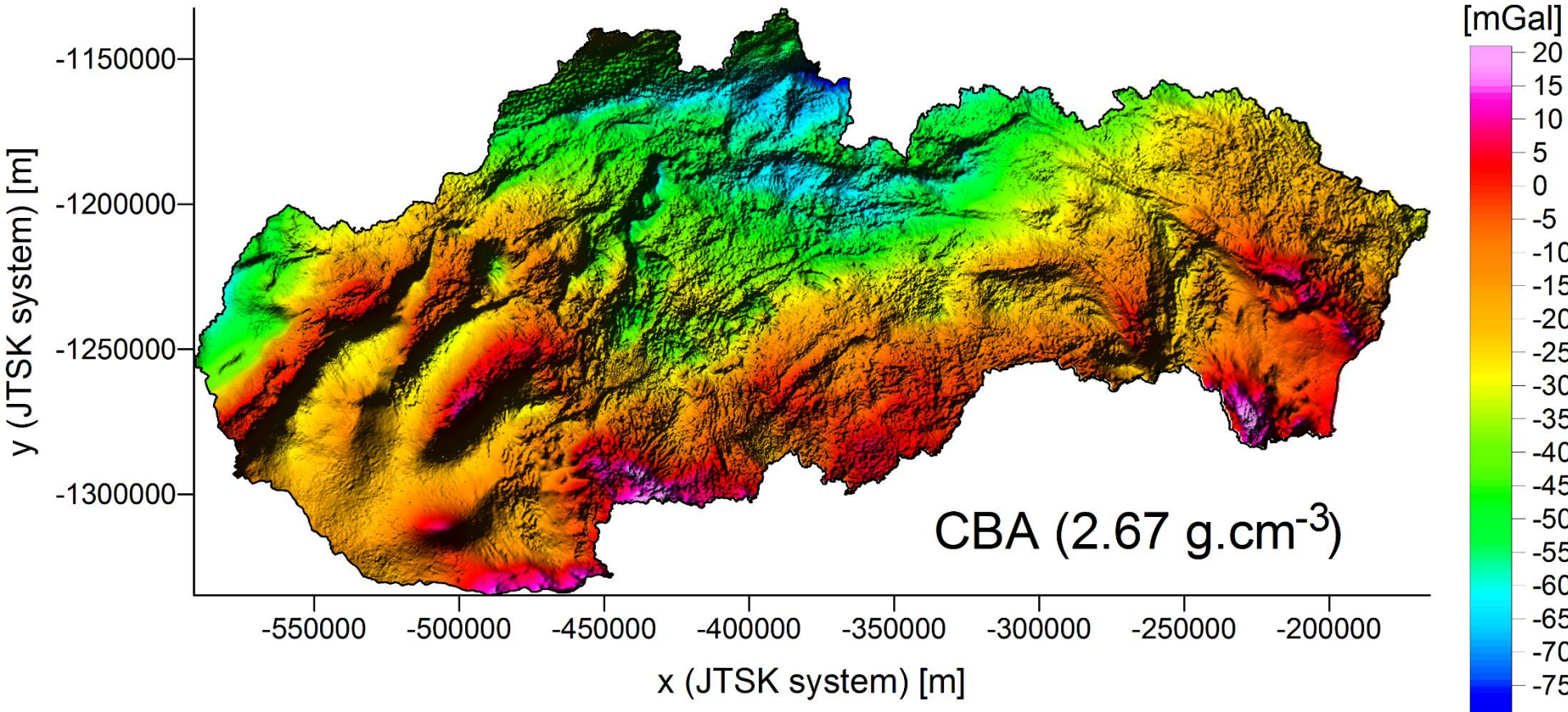
tilt derivative



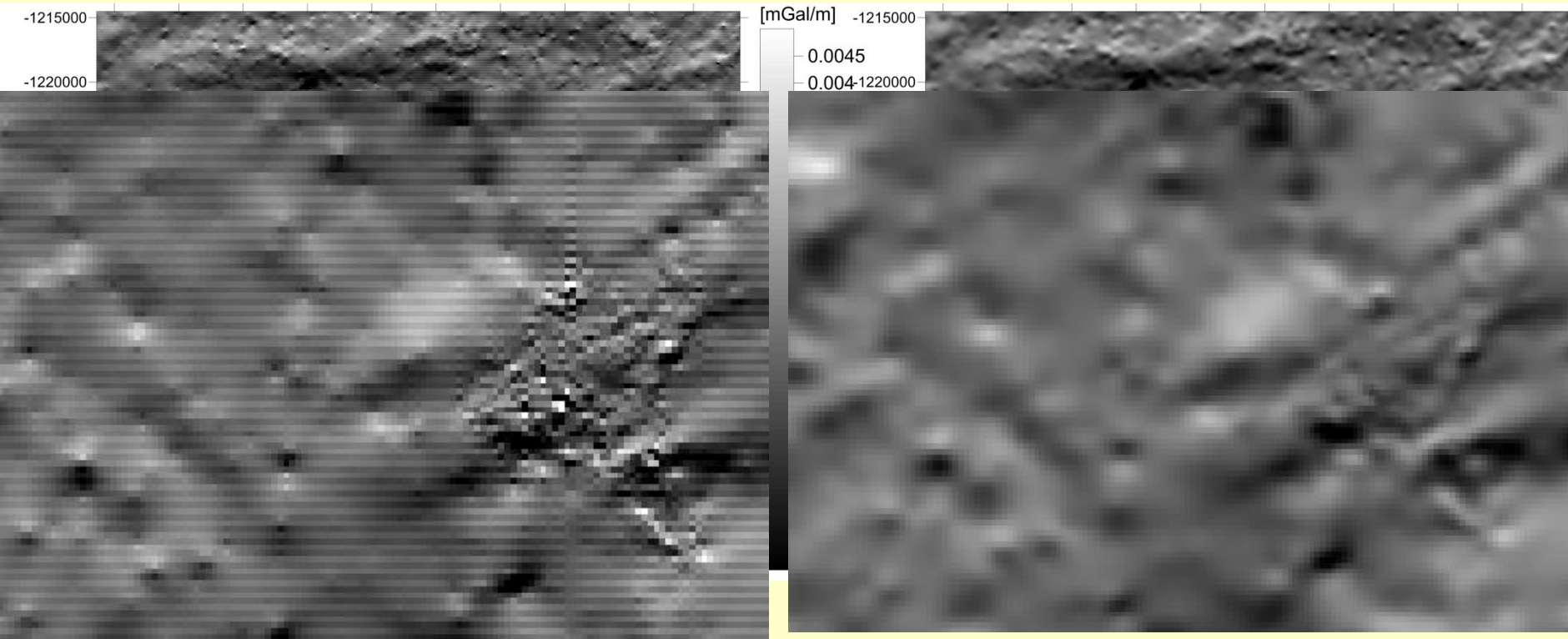
(použitá ČB farebná škála)

transformácie založené na deriváciách:

nová verzia mapy ÚBA pre územie SR

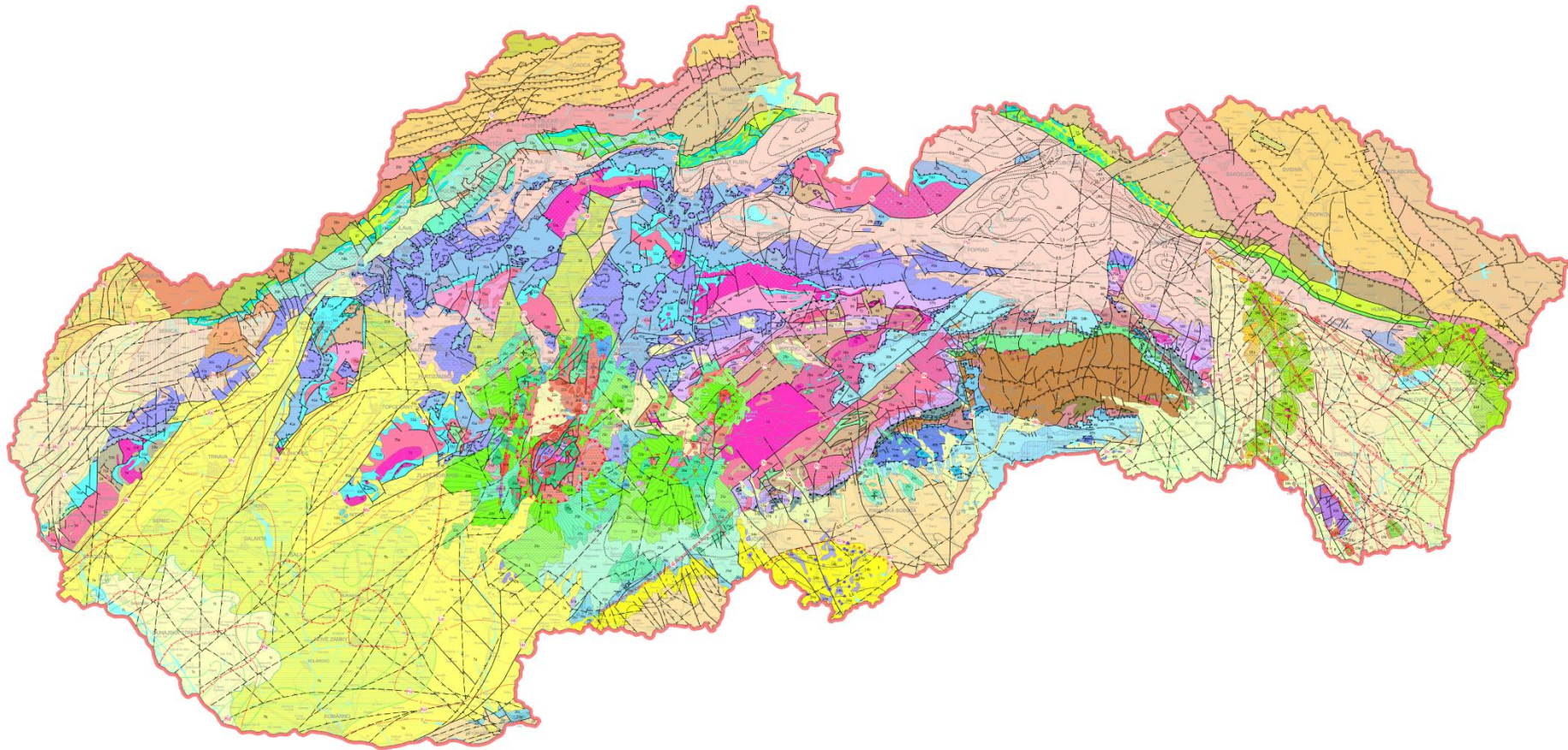


rozdiely – medzi štandardne počítanou a regularizovanou deriváciou

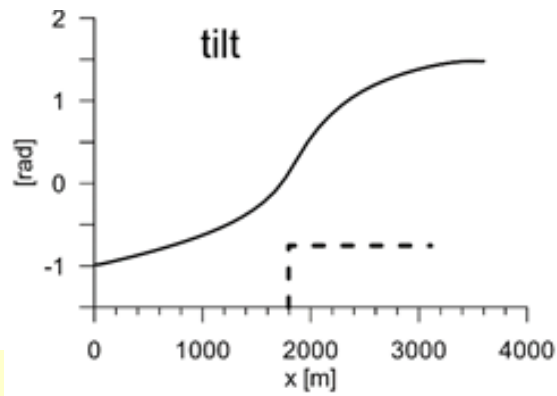
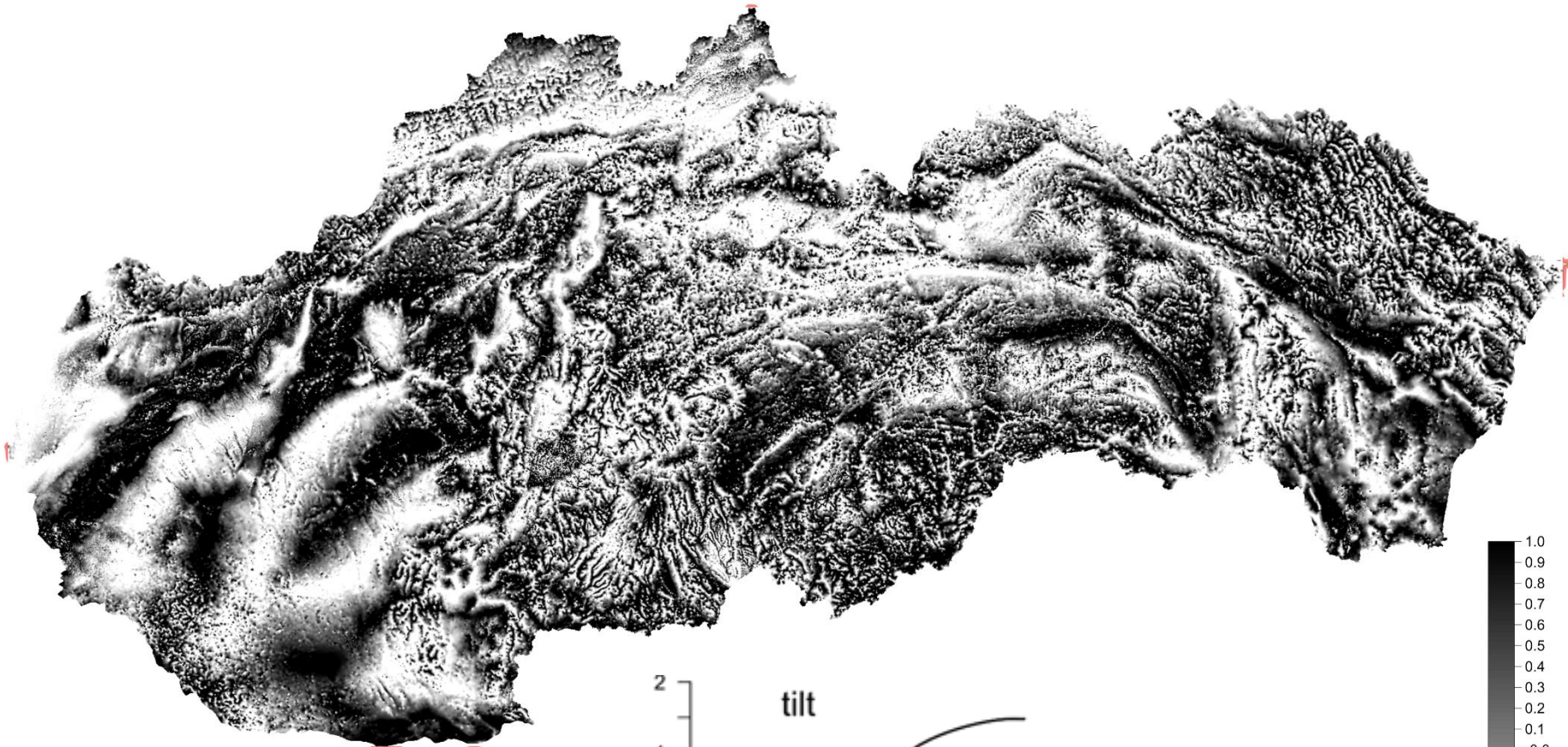


štandardne počítaná
(neregularizovaná)
y-ová derivácia

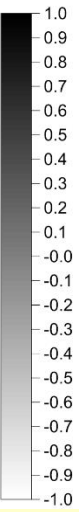
stabilizovaná
(regularizovaná)
y-ová derivácia

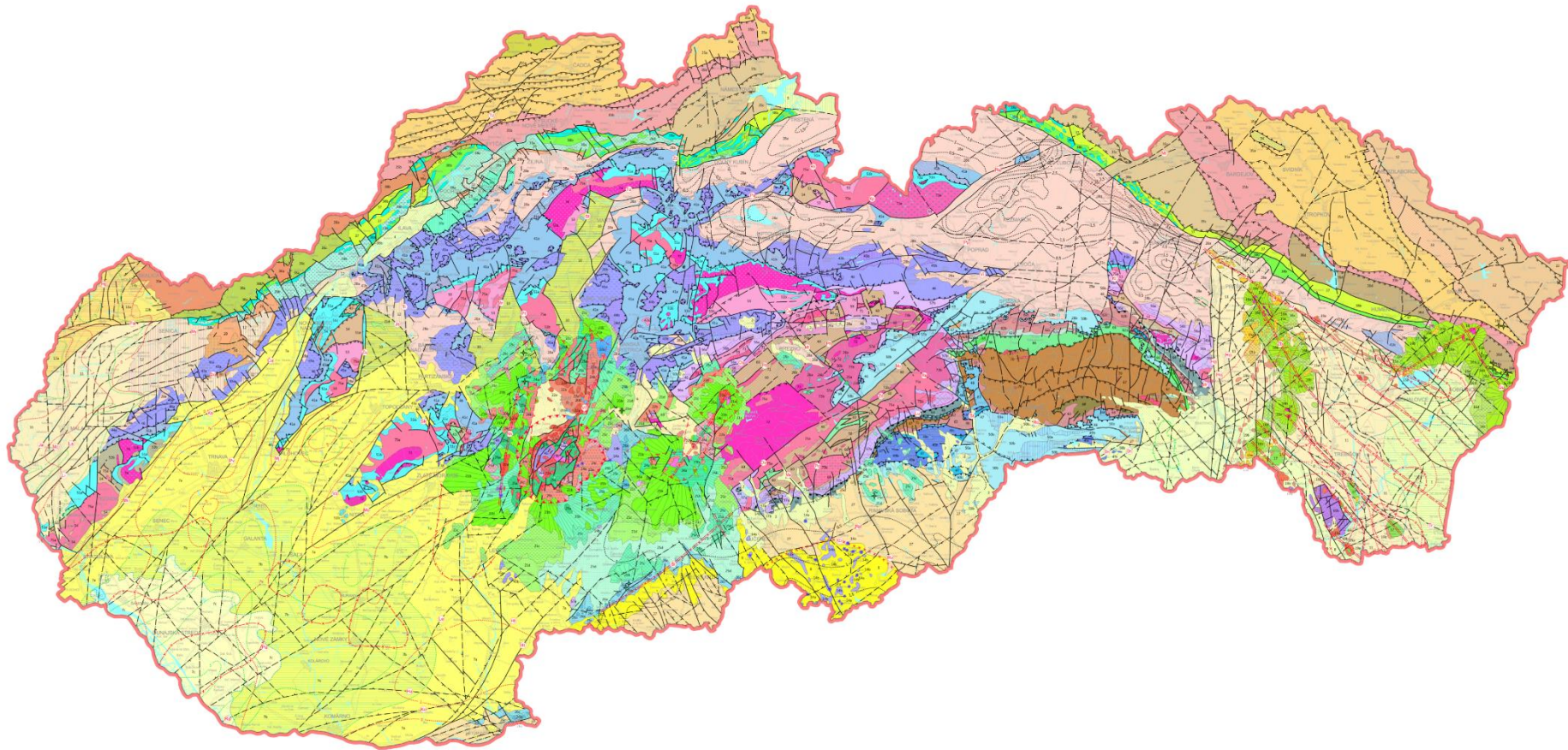


Bezák a kol., 2004: Tektonická mapa Slovenskej republiky

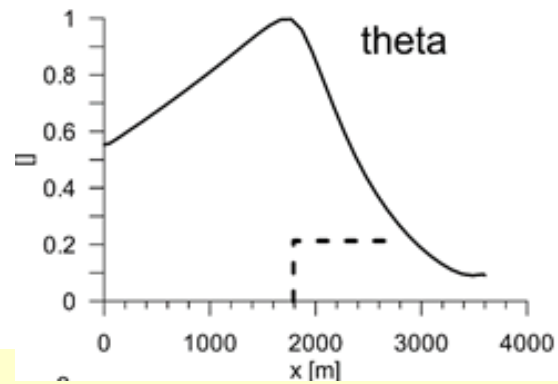
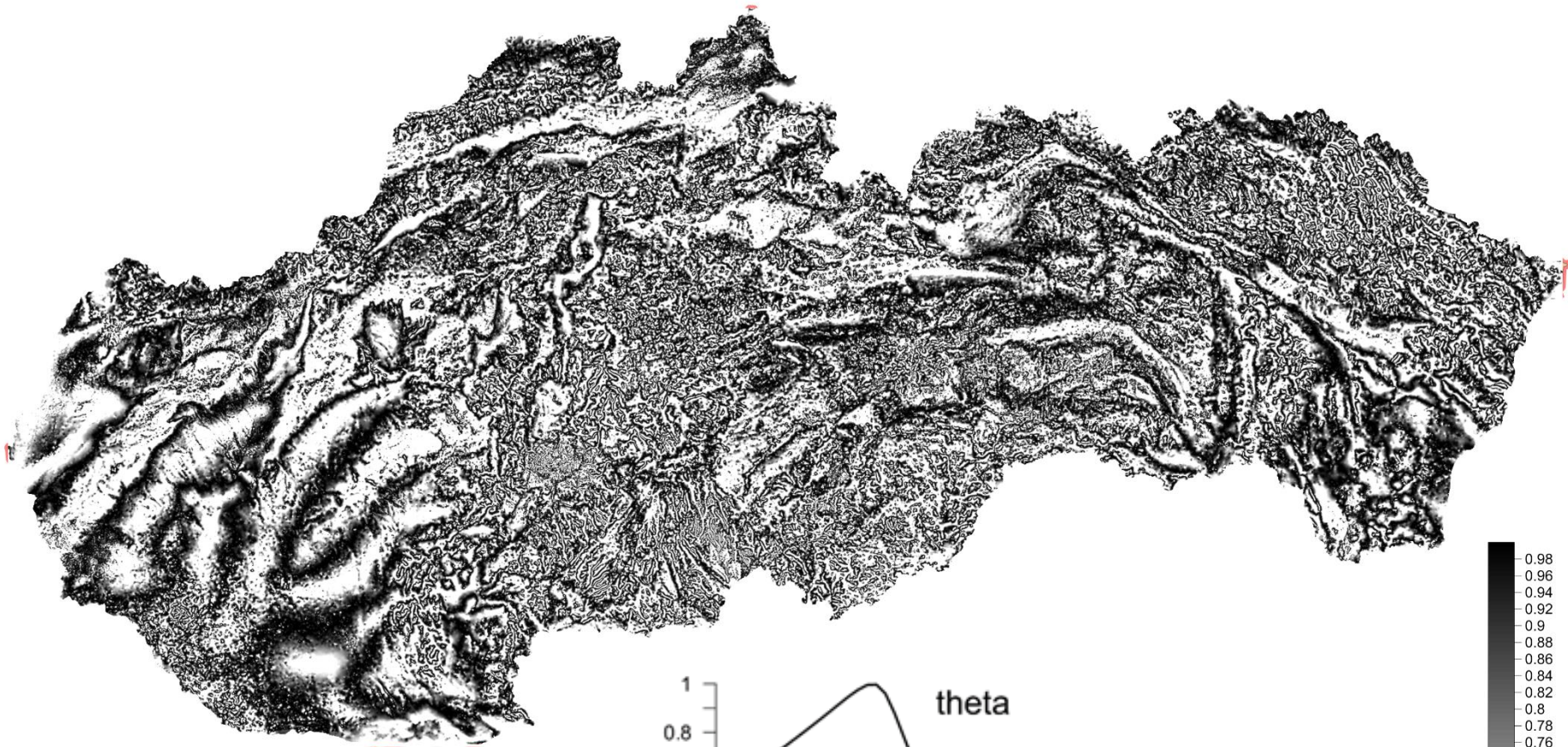


TILT
(tilt angle)

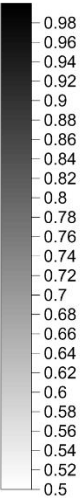




Bezák a kol., 2004: Tektonická mapa Slovenskej republiky

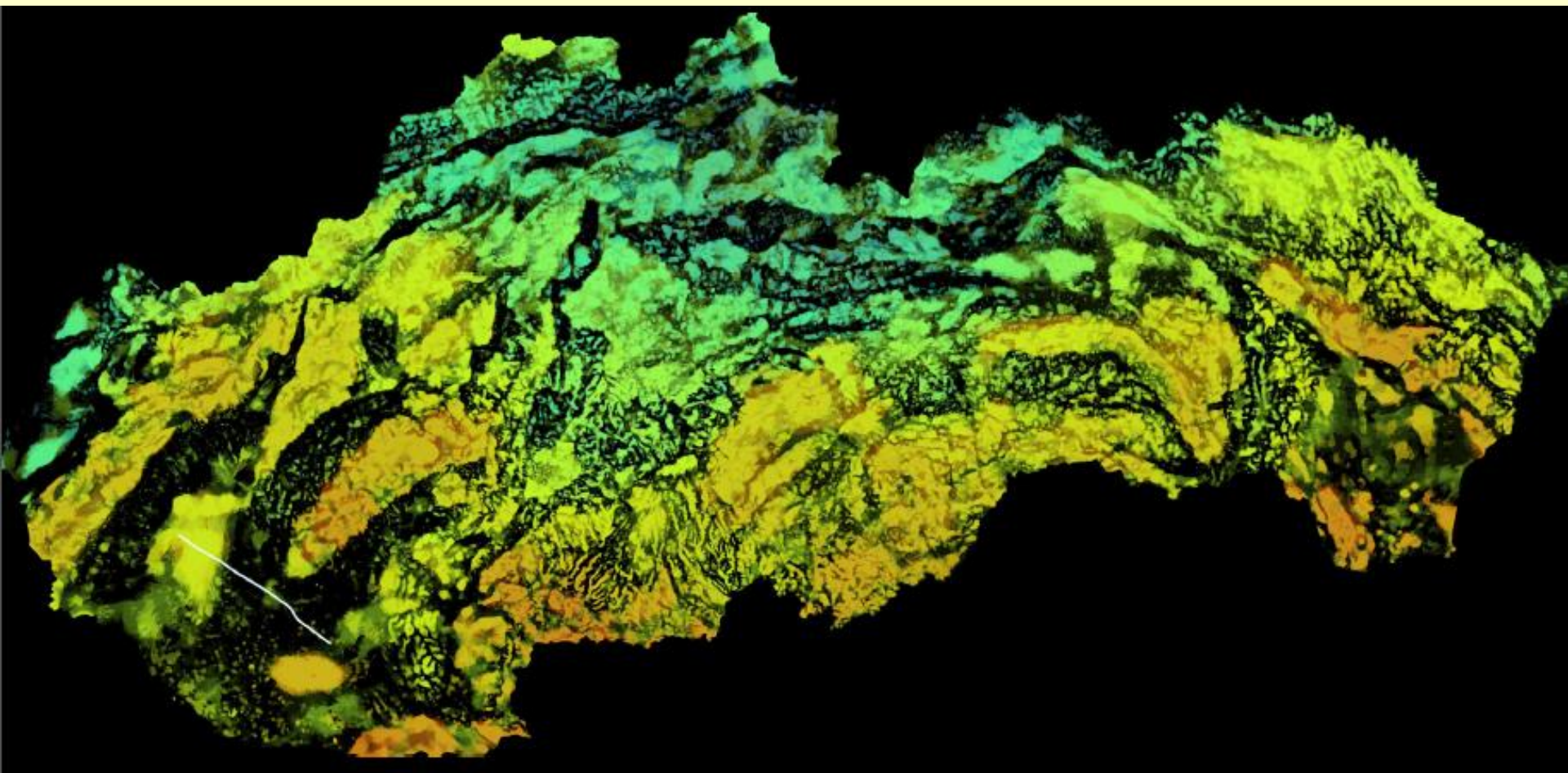


THETA
(theta derivative)



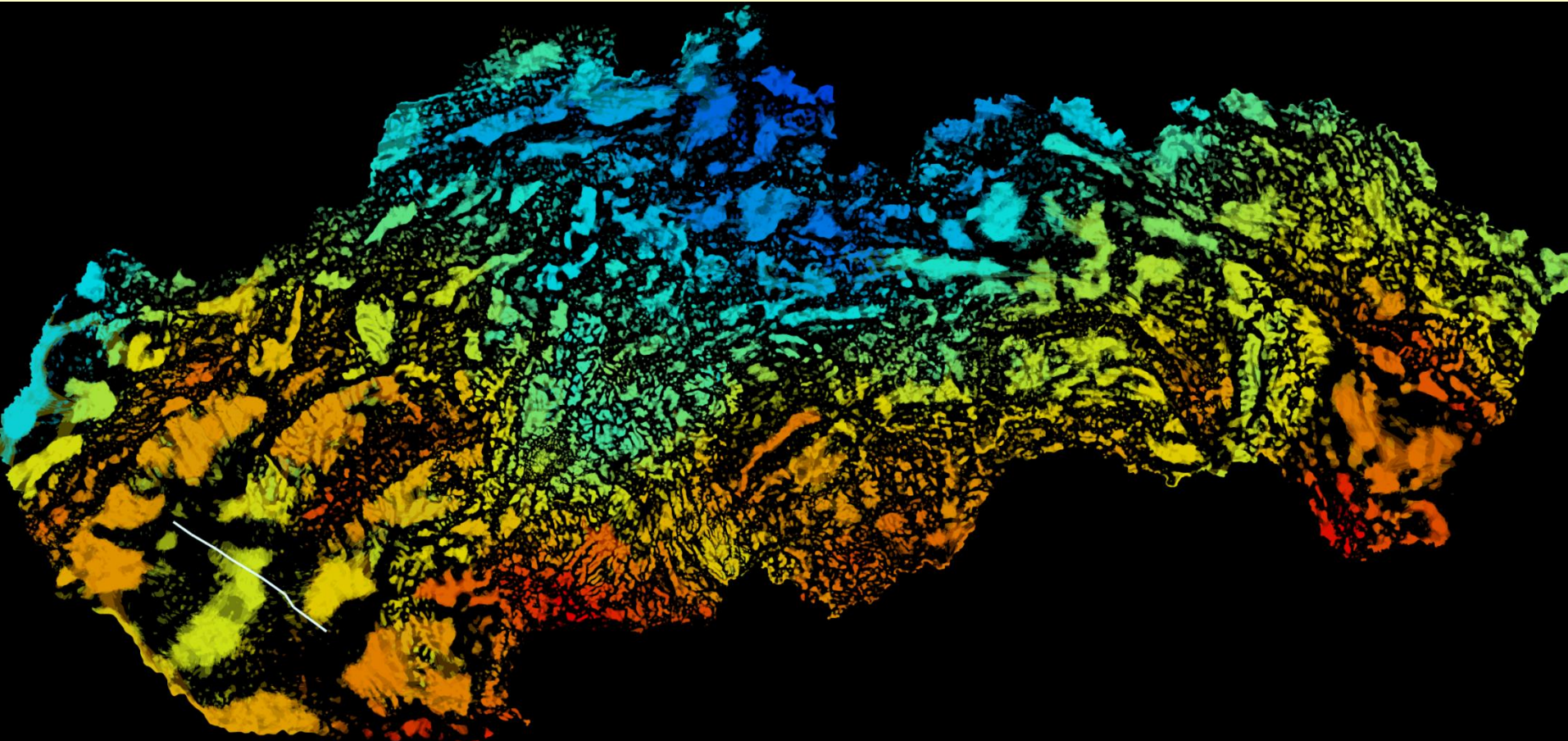
analýza tvarov podľa ÚBA (konvexné/konkávne) – riešenie
firmy Proxima R&D (Sv. Jur pri Bratislave)

konvexné tvary – kladné anomálie (p1, p2, p3, ...)



analýza tvarov poľa ÚBA (konvexné/konkávne) – riešenie
firmy Proxima R&D (Sv. Jur pri Bratislave)

konkávne tvary – záporné anomálie (m1, m2, m3, ...)



transformácie polí (ÚBA) v gravimetrii

kombinácia výpočtu vyšších derivácií a pokračovania nadol – metóda totálneho normovaného gradientu (tzv. Berezkinova metóda)

- určená na interpretáciu (iba) profilových údajov $g(x,0)$
- kombinuje prepočítanú horizontálnu $g_x(x,z)$ a vertikálnu $g_z(x,z)$ deriváciu do totálneho gradientu $TG(x,z)$:

$$TG(x, z) = \sqrt{(\partial g / \partial x)^2 + (\partial g / \partial z)^2}$$

- totálny gradient je potom na každej hĺbovej úrovni delený (normovaný) svojou priemernou hodnotou,
- získané pole totálneho normovaného gradientu dosahuje maximum v mieste polohy zdroja anomálie,
- numericky je metóda realizovaná pomocou Fourierových radov, počet zapojených členov radu (N^*) je dôležitý parameter metódy – pri jeho optimálnej hodnote je dosiahnuté najväčšie maximum TNG .

transformácie polí (ÚBA) v gravimetrii

metóda totálneho normovaného gradientu (TNG)

-numericky je metóda realizovaná pomocou Fourierových radov, počet zapojených členov radu (N^*) je dôležitý parameter metódy.

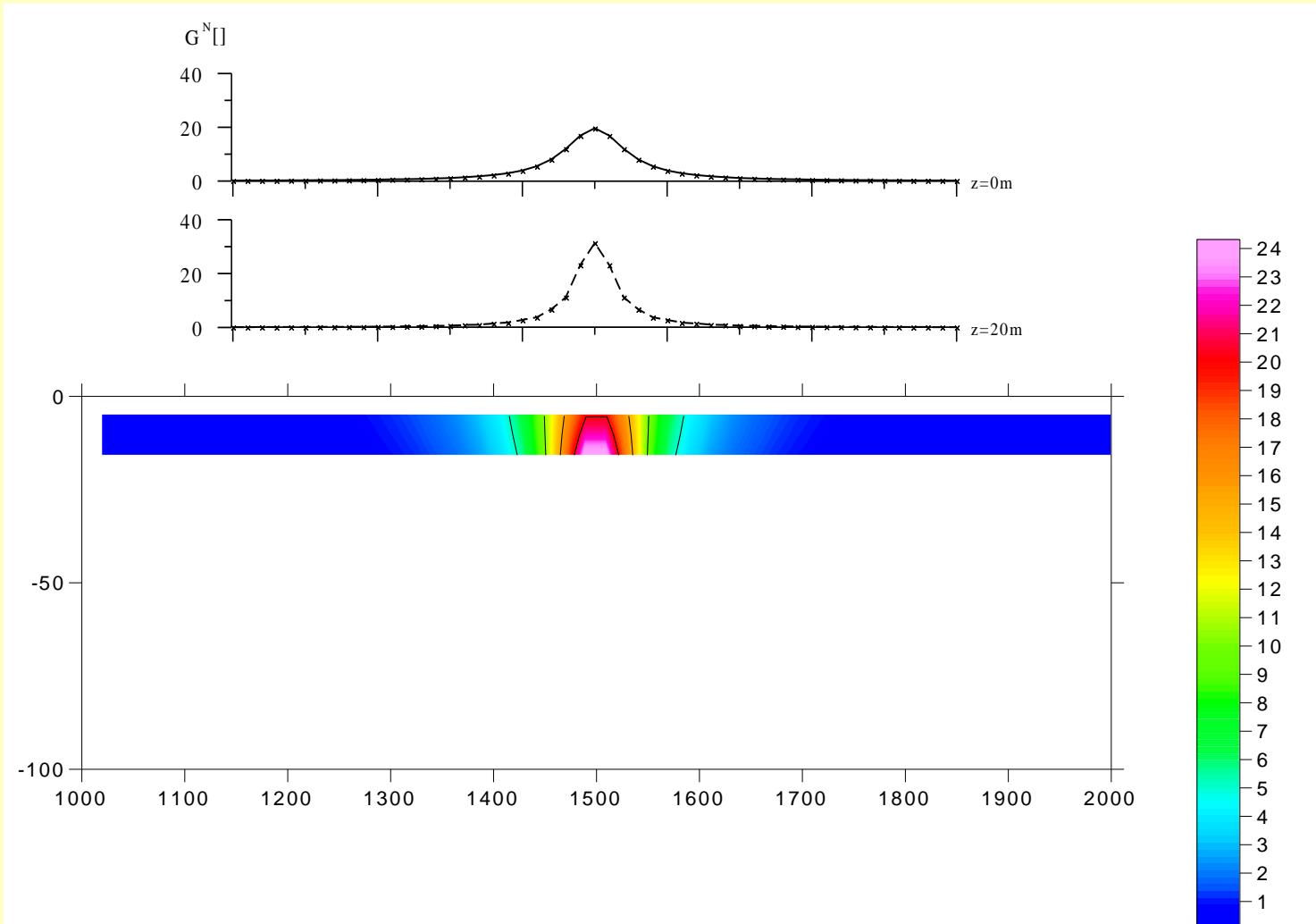
$$\frac{\partial g}{\partial x} = g_x(x, z) = \frac{\pi}{L} \sum_{n=1}^{N^*} nB_n \cos \frac{\pi n x}{L} e^{\frac{\pi n z}{L}}$$

$$\frac{\partial g}{\partial z} = g_z(x, z) = \frac{\pi}{L} \sum_{n=1}^{N^*} nB_n \sin \frac{\pi n x}{L} e^{\frac{\pi n z}{L}}$$

$$TG(x, z) = \sqrt{g_x^2(x, z) + g_z^2(x, z)}$$

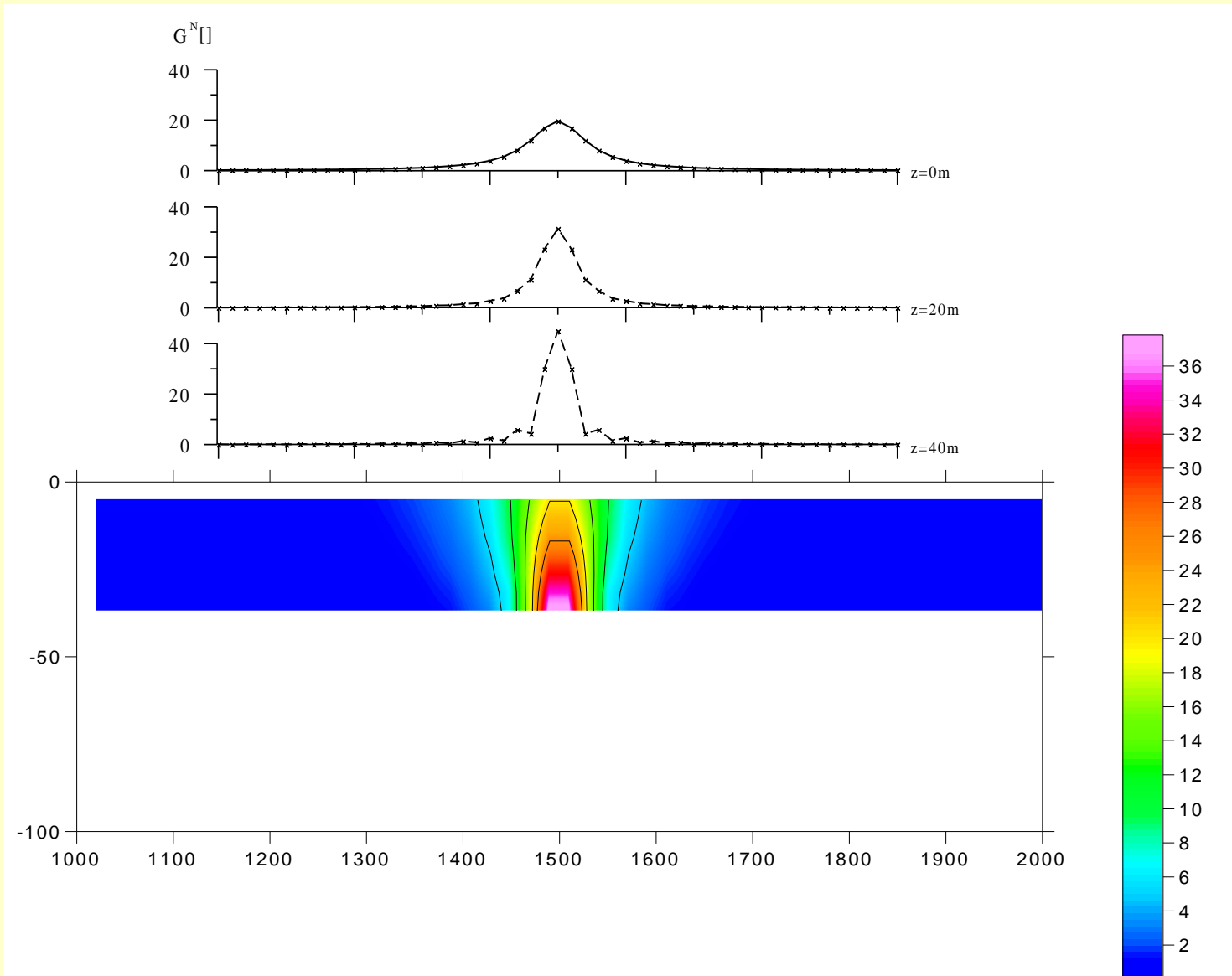
$$G_N(x, z) = \frac{\sqrt{g_x^2(x, z) + g_z^2(x, z)}}{\frac{1}{M} \sum_{i=1}^M \sqrt{g_{x_i}^2(x, z) + g_{z_i}^2(x, z)}}$$

pole totálneho normovaného gradientu v reze cez zdroj (horizont. kruhový valec v hĺbke 50 m)



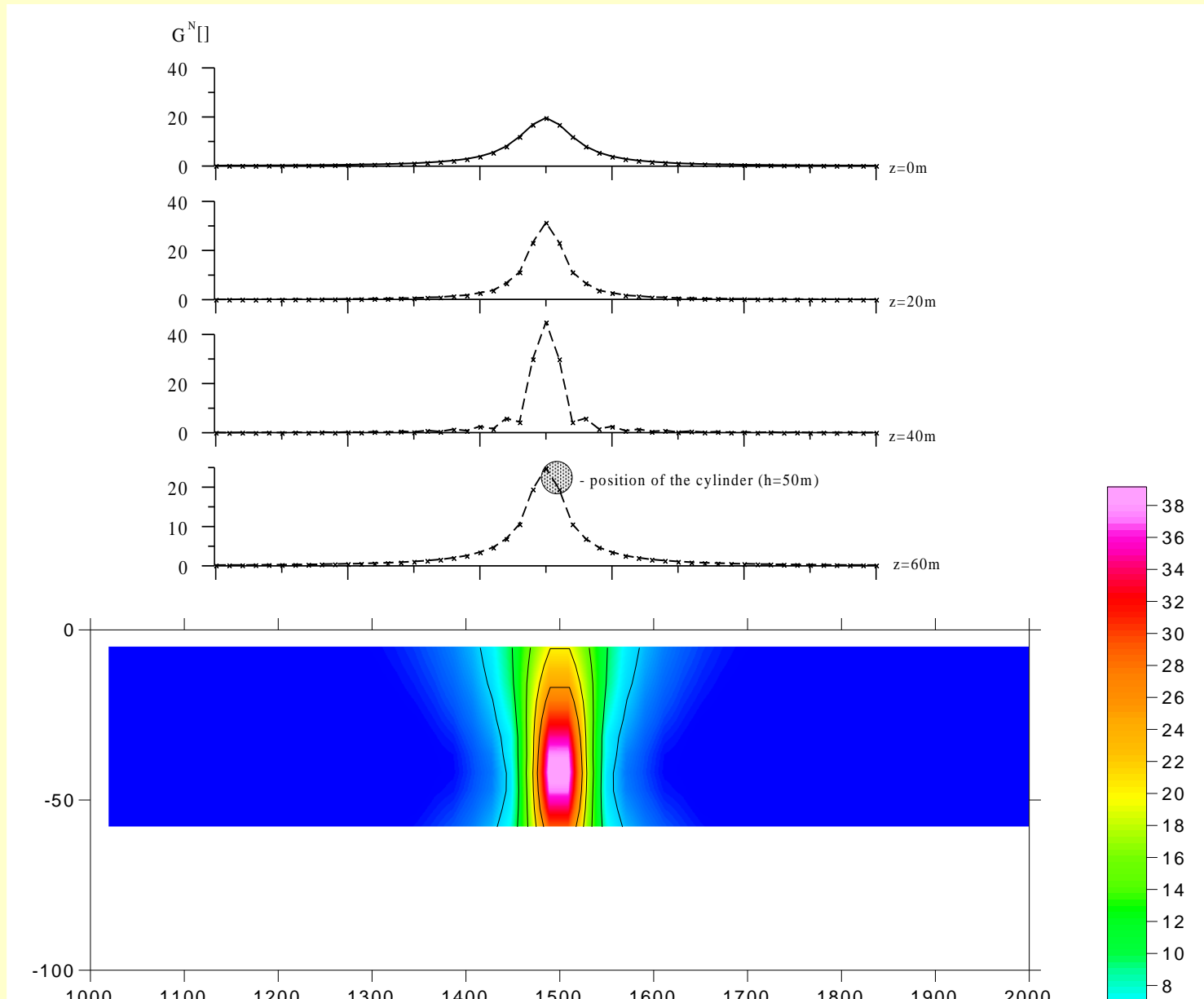
$N^* = 55$
hĺbky:
0 až 20 m

pole totálneho normovaného gradientu v reze cez zdroj (horizont. kruhový valec v hĺbke 50 m)

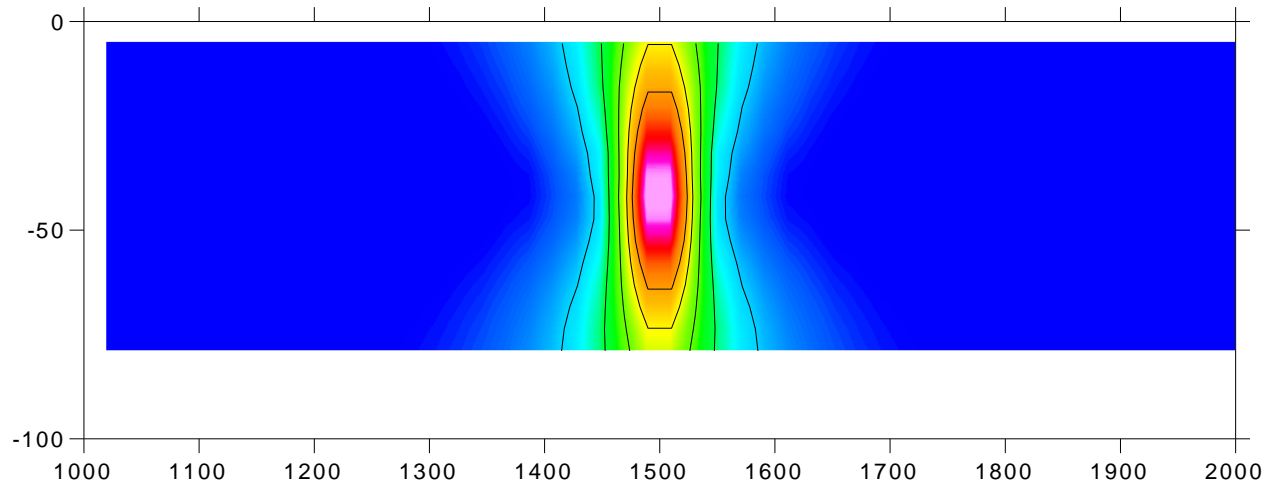
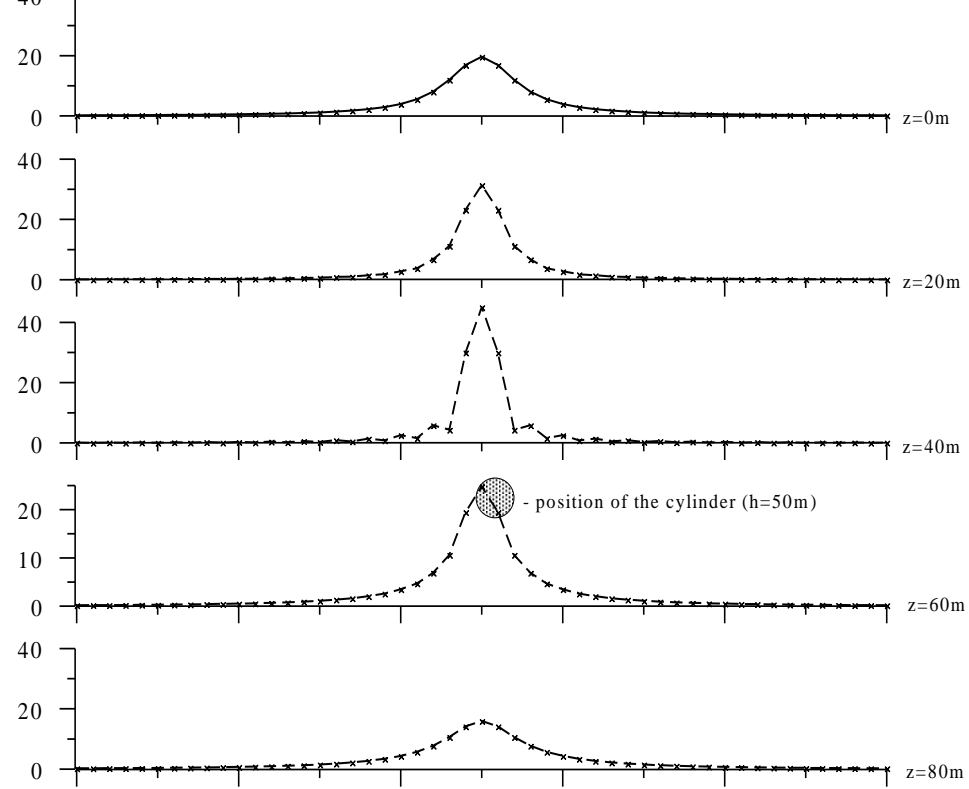


$N^* = 55$
hĺbky:
0 až 40 m

pole totálneho normovaného gradientu v reze cez zdroj (horizont. kruhový valec v hĺbke 50 m)

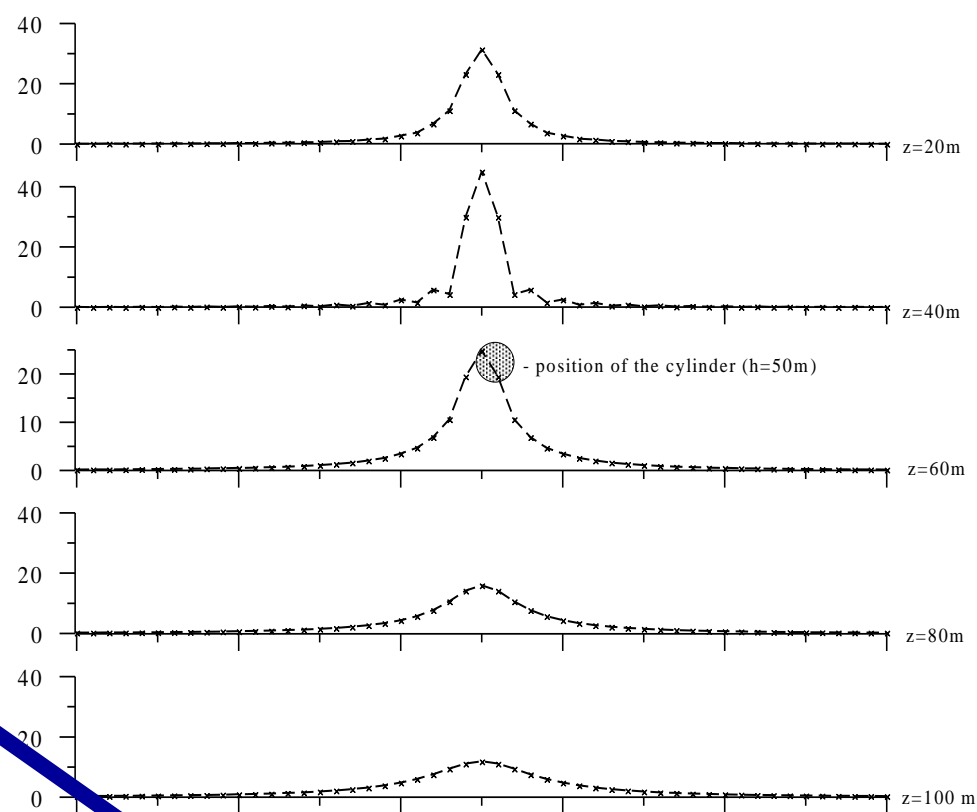


$N^* = 55$
hĺbky:
0 až 60 m



$N^* = 55$
 hĺbky:
 0 až 80 m

maximum pol'a TNG
je polohovo identické
s polohou stredu 2D
horizontálneho valca



$N^* = 55$
hĺbky:
0 až 100 m

